



Северо-западная секция SPE

SciencEngineering в проектировании и мониторинге разработки месторождений:

использование аналитических методов

Докладчики: Пустовских Алексей, ООО «Газпромнефть НТЦ» Рощектаев Алексей, ООО «Газпромнефть НТЦ»

SciencEngineering in Oil Fields Development and Monitoring: Application of Analytical Methods

Presenters: Pustovskikh Aleksei, LLC "Gazpromneft NTC" Roshchektaev Aleksei, LLC "Gazpromneft NTC"

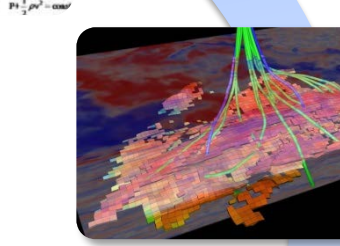
СОДЕРЖАНИЕ (CONTENT)

- Введение (Introduction)
- Метод точечных источников для расчета дебитов скважин (Point source method for well flow rate calculation)
 - Установившийся приток (Steady-state flow)
 - ❖ Оптимальная система разработки горизонтальными скважинами (Optimal well pattern of horizontal wells)
 - ❖ Моделирование многозабойных скважин (Modeling of multilateral wells)
 - Неустановившийся приток (Unsteady-state flow)
 - ❖ Оптимизация времени отработки нагнетательных скважин (Optimal operation period of injection well in production mode)
- Инструмент моделирования различных систем разработки (Modeling tools for different well patterns)
 - Метод трубок тока (Streamline technique)
 - Экономические расчеты при выборе оптимальной системы (Economic calculations in optimal well pattern selection)
- Пример выбора оптимальной системы (An example of optimal well pattern selection)

Что такое SciencEngineering? What is SciencEngineering?

Ingenium (лат.) – изобретательный, искусный, знающий Ingenium (lat.) – inventive, skillful, knowledgeable









- SciencEngineering (SE) дисциплина, задачей которой является применение методов и достижений фундаментальных наук при проектировании, разработке и анализе производственных систем и процессов.
- **SE** всегда был основой инженерного дела, но сейчас начал выделяться в отдельную область знаний и умений в связи с ростом «наукоемкости» современных производств.
- **SE** характеризует:
 - междисциплинарность (multidisciplinary)
 - комплексность (integration)
 - синергия теории и практики (synergy of theory and practice)
 - Инновационность (innovation)

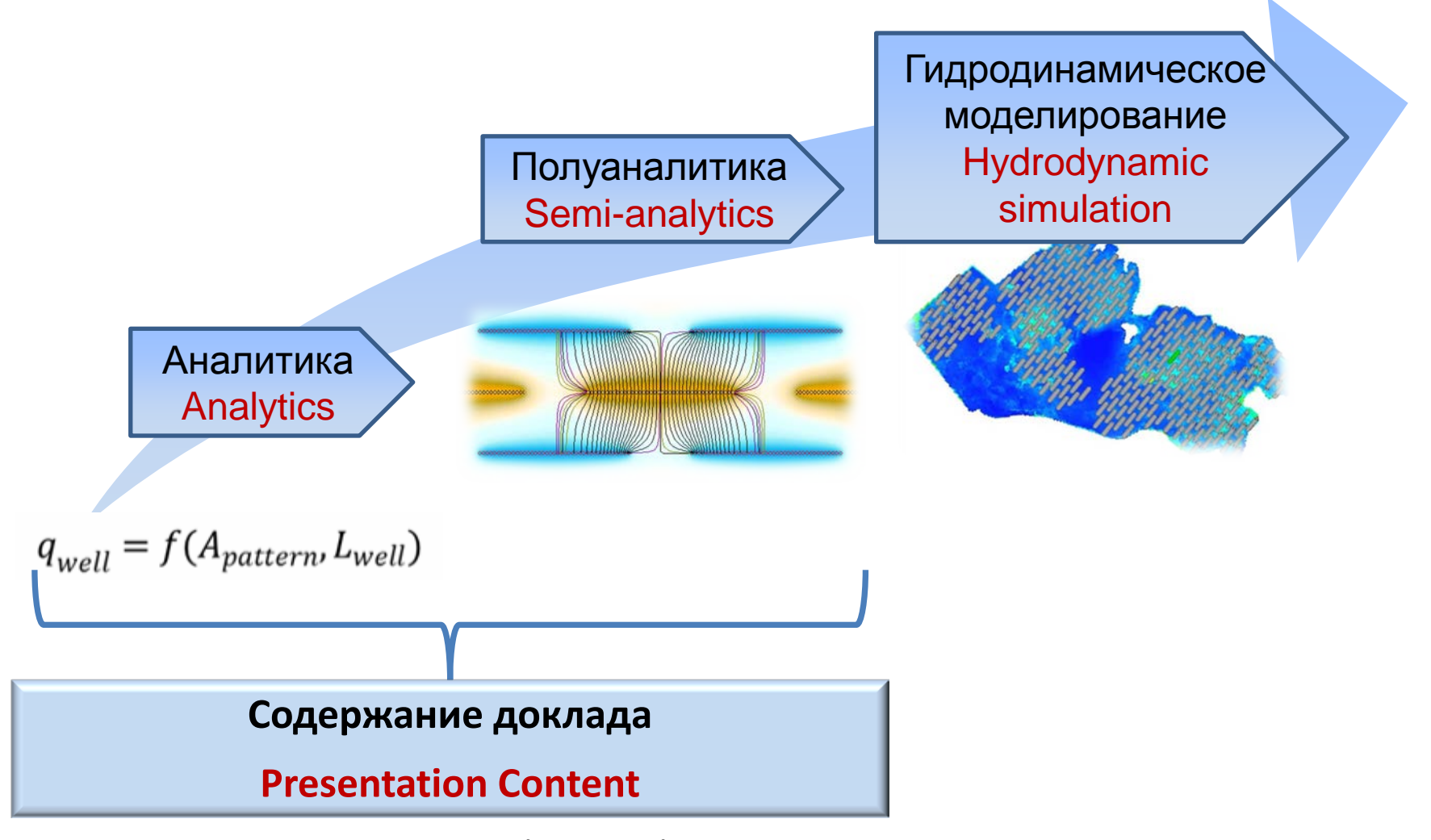
Что такое SciencEngineering? What is SciencEngineering?

Engineering

SciencEngineering



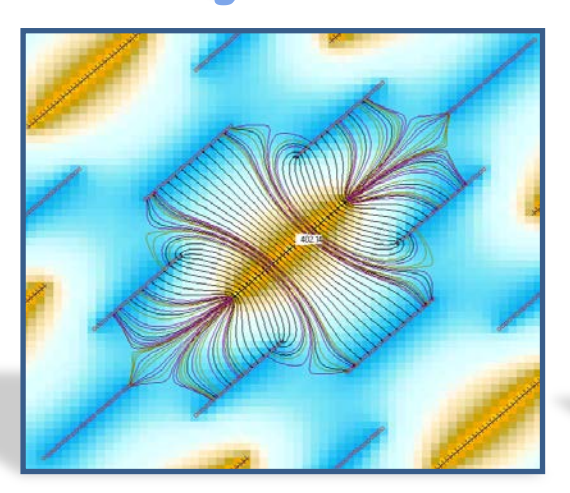


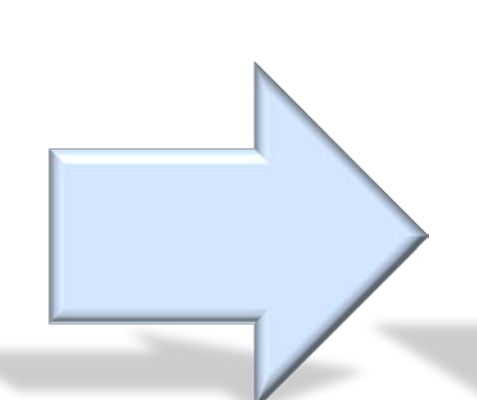


Для оптимизации системы разработки необходимо иметь все 3 уровня моделирования. Каждый следующий уровень уточняет предыдущий, уменьшает область поиска.

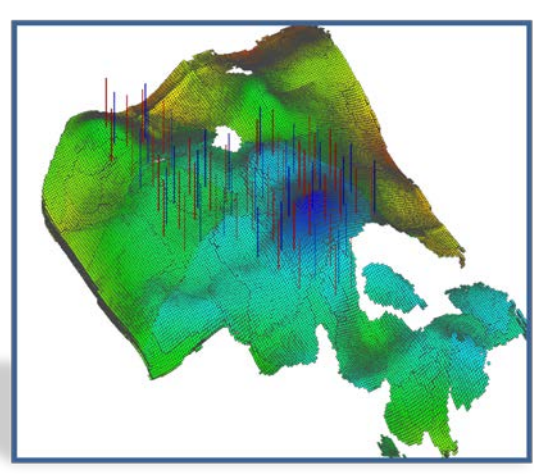
All the three levels of modeling are required for well pattern optimization. Every next level specifies the previous one and reduces the search area.

1D, 2D









Параметры оптимизации (Optimization parameters):

- Вид системы разработки (Well pattern)
- Деформация системы разработки (Deformation of the well pattern)
- Способ заканчивания скважин (Method of well completion)
- Время отработки нагнетательных скважин на нефть (operation period of injection wells in production mode)

Параметры оптимизации

(Optimization parameters):

- Порядок ввода скважин в добычу (Order of well commissioning)
- Расположение каждой скважины по площади (Location of each well over the area)
- Проводка каждой скважины по пласту (Drilling of each well into the reservoir formation)
- Режим работы каждой скважины (Operation mode for each well)

<u>Цель:</u> выбор системы разработки, максимизирующей NPV проекта, при заданных экономических параметрах и концептуальных решениях по инфраструктуре

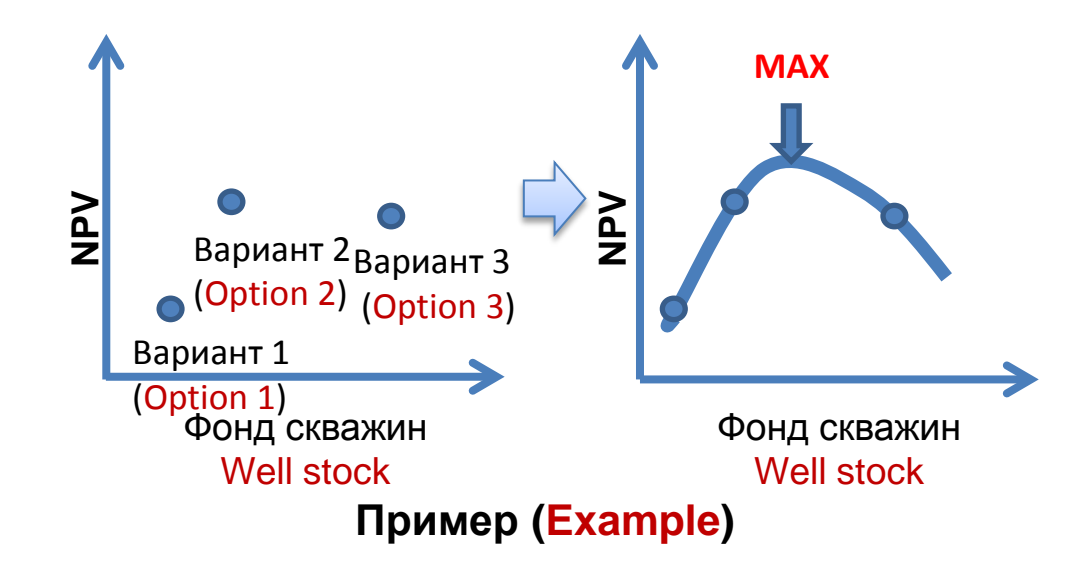
При рассмотрении ограниченного количества вариантов, есть риск принятия неоптимального решения.

Для крупных проектов, определяющих стоимость Компании, целесообразно строить «непрерывные» модели, максимально охватывающие возможные варианты.

<u>Objective:</u> selection of the well pattern that maximizes the project NPV at given economic parameters and conceptual infrastructure solutions.

When considering a limited amount of options there is a risk of reaching a nonoptimal solution.

For large projects that define the value of Company it is reasonable to build "continuous" models that most cover the possible options.



 Определение оптимальной длины горизонтальной скважины (Defining optimal length of the horizontal well)

 \triangle NPV = +20 млрд. руб. (bln Rub)

 Выбор оптимальной плотности сетки скважин (Selecting optimal well spacing)

 \triangle NPV = +10 млрд. руб. (bln Rub)

Выбор оптимального профиля добычи (Selecting optimal production profile)

 \triangle NPV = +13 млрд. руб. (bln Rub)

Суммарный прирост $\triangle NPV = +43$ млрд. руб. (Total gain $\triangle NPV = +43$ bln Rub)

МЕТОД ТОЧЕЧНЫХ ИСТОЧНИКОВ ДЛЯ РАСЧЕТА ДЕБИТОВ СКВАЖИН POINT SOURCE METHOD FOR WELL PRODUCTIVITY CALCULATION

Метод точечных источников является перспективным методом моделирования физических полей. Это метод, часто называемый в зарубежной литературе методом фундаментальных решений, в настоящее время используется в первую очередь для решения уравнения Лапласа. Однако он может быть использован и для решения других уравнений математической физики. (Point source method is a promising technique for physical field modeling. This method, which in foreign literature is often called a method of fundamental solutions, is currently used primarily for solving the Laplace equation. However it may also be used for solving other equations in mathematical physics.)

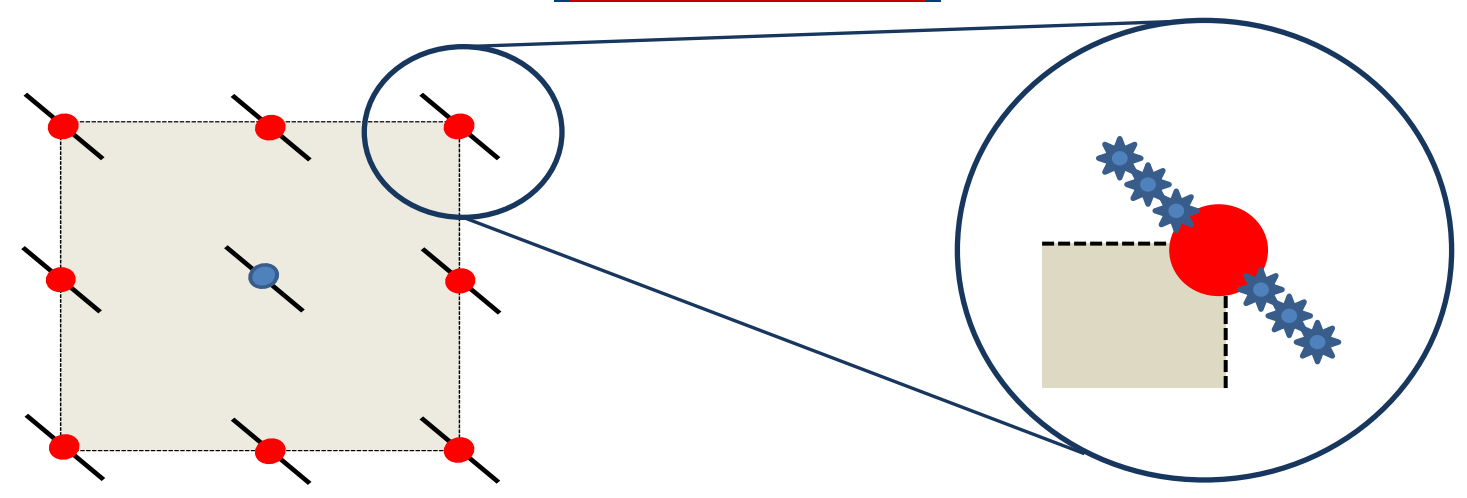
$$k_x \frac{\partial^2 P}{\partial x^2} + k_y \frac{\partial^2 P}{\partial y^2} + k_z \frac{\partial^2 P}{\partial z^2} = 0$$
 Уравнение Лапласа (Laplace equation)

$$\frac{\partial^2 P}{\partial x^2} + \frac{\partial^2 P}{\partial y^2} + \frac{\partial^2 P}{\partial z^2} = \frac{1}{\lambda} \frac{\partial P}{\partial t}$$

Уравнение пьезопроводности (Diffusion equation)

$$\lambda = \frac{K}{m\mu C}$$

Установившийся режим (Steady-state flow)



Скважины представляют собой точечные источники/ стоки, работающие с постоянным давлением. (Wells are point sources / sinks operating under constant pressure)

$$P - P_k = \frac{\mu q}{2\pi kh} \ln \frac{R_k}{r}$$

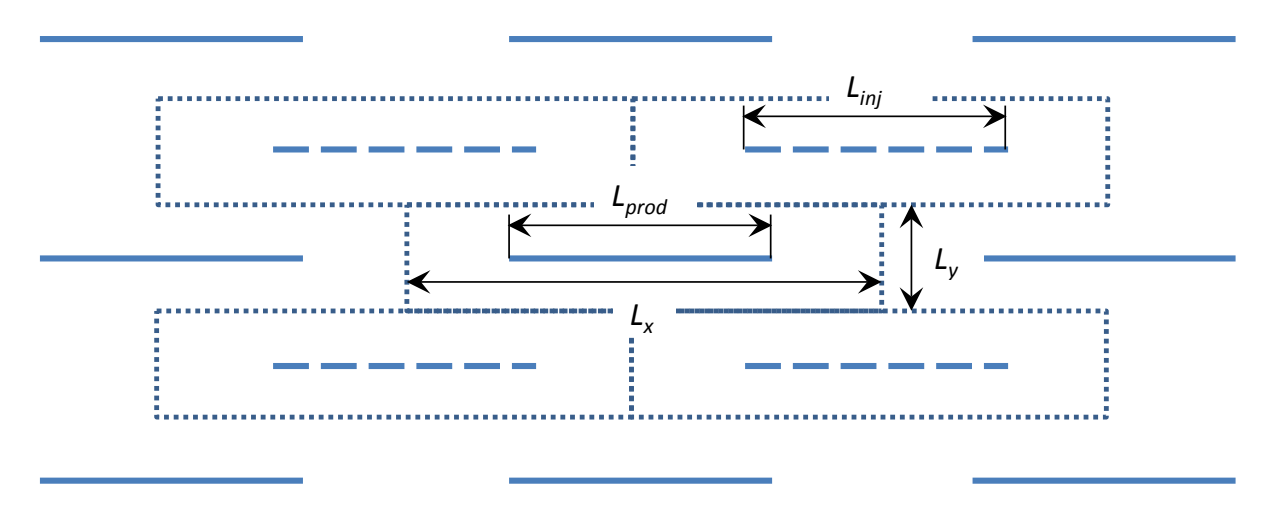
Возмущение давление одной скважины (источника) (Pressure disturbance of one well (source))

$$P_j-P_k=rac{\mu q_j}{2\pi kh}\lnrac{R_k}{r_{cj}}+\sum_{i
eq j}rac{\mu q_i}{2\pi kh}\lnrac{R_k}{r_{ij}} rac{ ext{возмущение давления опросумма возмущений давления опросумма возмущение давления опросумма возмущений давления о$$

Для системы скважин суммарное возмущение давления определяется как сумма возмущений давления, создаваемых отдельными скважинами.

(For a well system the total pressure disturbance is defined as a sum of pressure disturbances generated by individual wells.)10

Оптимальная система разработки горизонтальными скважинами (Optimal well patern of horizontal wells)



Рядная система разработки горизонтальными скважинами (сплошными линиями обозначены добывающие скважины, пунктирными – нагнетательные)

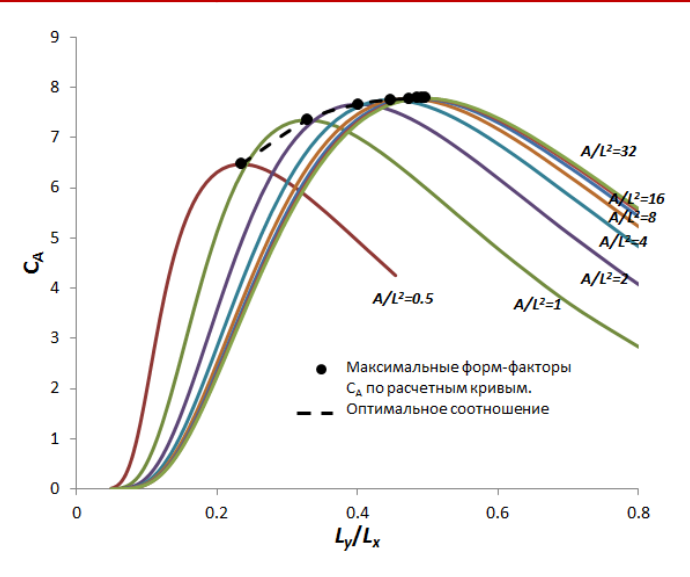
In-line well pattern of horizontal wells (solid lines show production wells, dotted lines show injection wells)

Дебит горизонтальной скважины:

Flow rate of a horizontal well:

$$q_{h} = \frac{2\pi k_{h} h(\overline{P} - P_{prod})}{\mu B\left(\frac{1}{2} \ln\left(\frac{4A}{\gamma_{1} C_{A} L^{2} / 16}\right) + \frac{h^{*}}{L} \ln\frac{h^{*}}{2\pi r_{w}' \sin\frac{\pi h_{p}}{h}}\right)}$$

Оптимальная система разработки горизонтальными скважинами (Optimal well pattern of horizontal wells)



Зависимость форм-фактора от геометрии области дренирования Dependence of shape-factor on the geometry of drainage area

$$L_{x}/L_{y} = 2 + 1.15 \frac{L^{2}}{A}$$

$$L_{x} = \sqrt{2A + 1.15L^{2}}$$

$$L_{y} = \frac{A}{\sqrt{2A + 1.15L^{2}}}$$

$$C_{A} = \left[a \left(\frac{L_{x}}{L_{y}} \right)^{2} + b \right] e^{-c\frac{L_{x}}{L_{y}}}$$

$$a = f(L^{2}/A) = 17.5e^{-0.78L^{2}/A}$$

$$b = const = -6$$

$$c = f(L^{2}/A) = 1.06e^{-0.356L^{2}/A}$$

Оптимальная система разработки горизонтальными скважинами (Optimal well pattern of horizontal wells)

Пример: Требуется выбрать оптимальное расположение горизонтальных скважин в рядной системе разработки и рассчитать дебит таких скважин, если известно, что площадь, приходящаяся на одну скважину длиной 1000 м, равна 72 Га, забойное давление добывающих скважин 100 атм, нагнетательных 300 атм. Радиус горизонтального ствола 0.078 м. Пласт с эффективной толщиной 10 м и проницаемостью 5 мД, отношение горизонтальной проницаемости к вертикальной 10, скин-фактор 0, вязкость нефти 1.2 сП, объемный фактор 1.24.

Example: It is required to select an optimal pattern of horizontal wells in the in-line development system and calculate well production rate if it is known that the area per well equals to 72 ha, well length is 1000m, bottom hole pressure of production wells is 100 atm, bottom hole pressure of injection wells is 300 atm. The radius of a horizontal hole is 0.078 m. The effective thickness of the reservoir is 10 m, permeability is 5mD, horizontal to vertical permeability ratio is 10, skin factor is 0, oil viscosity is 1.2 cP, volume factor is 1.24.

Peweнue (Solution):

$$L_{x}/L_{y} = 2 + 1.15 \frac{L^{2}}{A} = 2 + 1.15 \frac{1000^{2}}{720000} \approx 3.6$$

$$a = 17.5e^{-0.78 \cdot \frac{1000^{2}}{720000}} \approx 5.92$$

$$c = 1.06e^{-0.356 \frac{1000^{2}}{720000}} \approx 0.64$$

$$C_{A} = \left(a \frac{L_{x}^{2}}{L_{y}^{2}} + b\right)e^{-c \frac{x}{L_{y}}} \approx 7$$

$$q_{h} = \frac{2\pi k_{h}h(\overline{P} - P_{prod})}{\mu B\left(\frac{1}{2}\ln\left(\frac{4A}{\gamma_{1}C_{A}L^{2}/16}\right) + \frac{h^{*}}{L}\ln\frac{h^{*}}{2\pi r_{w}' \sin\frac{\pi h_{p}}{h}}\right)} \approx 239 \text{ m}^{3}/\text{cym}$$

Heустановившийся режим Unsteady-state flow

Уравнение для распределения давления имеет вид (Equation for pressure distribution is):

$$\frac{1}{r}\frac{\partial}{\partial r}\bigg(r\frac{\partial P}{\partial r}\bigg) = \frac{1}{\lambda}\frac{\partial P}{\partial t}$$

$$\frac{\partial P}{\partial r}\left(r\frac{\partial P}{\partial r}\right) = \frac{1}{\lambda}\frac{\partial P}{\partial t}$$

$$\frac{\partial P}{\partial r}\left(r\frac{\partial P}{\partial r}\right) = \frac{1}{\lambda}\frac{\partial P}{\partial t}$$

$$\frac{\partial P}{\partial r}\left(r\frac{\partial P}{\partial r}\right) = \frac{1}{\lambda}\frac{\partial P}{\partial t}$$

$$\frac{\partial P}{\partial r}\left(r\frac{\partial P}{\partial r}\right) = \frac{1}{\lambda}\frac{\partial P}{\partial t}$$

$$\frac{\partial P}{\partial r}\left(r\frac{\partial P}{\partial r}\right) = \frac{1}{\lambda}\frac{\partial P}{\partial t}$$

$$\frac{\partial P}{\partial r}\left(r\frac{\partial P}{\partial r}\right) = \frac{1}{\lambda}\frac{\partial P}{\partial t}$$

$$\frac{\partial P}{\partial r}\left(r\frac{\partial P}{\partial r}\right) = \frac{1}{\lambda}\frac{\partial P}{\partial t}$$

$$\frac{\partial P}{\partial r}\left(r\frac{\partial P}{\partial r}\right) = \frac{1}{\lambda}\frac{\partial P}{\partial t}$$

$$\frac{\partial P}{\partial r}\left(r\frac{\partial P}{\partial r}\right) = \frac{1}{\lambda}\frac{\partial P}{\partial t}$$

$$\frac{\partial P}{\partial r}\left(r\frac{\partial P}{\partial r}\right) = \frac{1}{\lambda}\frac{\partial P}{\partial t}$$

$$\frac{\partial P}{\partial r}\left(r\frac{\partial P}{\partial r}\right) = \frac{1}{\lambda}\frac{\partial P}{\partial t}$$

$$\frac{\partial P}{\partial r}\left(r\frac{\partial P}{\partial r}\right) = \frac{1}{\lambda}\frac{\partial P}{\partial t}$$

$$\frac{\partial P}{\partial r}\left(r\frac{\partial P}{\partial r}\right) = \frac{1}{\lambda}\frac{\partial P}{\partial t}$$

$$\frac{\partial P}{\partial r}\left(r\frac{\partial P}{\partial r}\right) = \frac{1}{\lambda}\frac{\partial P}{\partial t}$$

$$\frac{\partial P}{\partial r}\left(r\frac{\partial P}{\partial r}\right) = \frac{1}{\lambda}\frac{\partial P}{\partial t}$$

$$\frac{\partial P}{\partial r}\left(r\frac{\partial P}{\partial r}\right) = \frac{1}{\lambda}\frac{\partial P}{\partial t}$$

$$\frac{\partial P}{\partial r}\left(r\frac{\partial P}{\partial r}\right) = \frac{1}{\lambda}\frac{\partial P}{\partial t}$$

$$\frac{\partial P}{\partial r}\left(r\frac{\partial P}{\partial r}\right) = \frac{1}{\lambda}\frac{\partial P}{\partial t}$$

$$\frac{\partial P}{\partial r}\left(r\frac{\partial P}{\partial r}\right) = \frac{1}{\lambda}\frac{\partial P}{\partial r}$$

$$\frac{\partial P}{\partial r}\left(r\frac{\partial P}{\partial r}\right) = \frac{1}{\lambda}\frac{\partial P}{\partial r}$$

$$\frac{\partial P}{\partial r}\left(r\frac{\partial P}{\partial r}\right) = \frac{1}{\lambda}\frac{\partial P}{\partial r}$$

$$\frac{\partial P}{\partial r}\left(r\frac{\partial P}{\partial r}\right) = \frac{1}{\lambda}\frac{\partial P}{\partial r}$$

$$\frac{\partial P}{\partial r}\left(r\frac{\partial P}{\partial r}\right) = \frac{1}{\lambda}\frac{\partial P}{\partial r}$$

$$\frac{\partial P}{\partial r}\left(r\frac{\partial P}{\partial r}\right) = \frac{1}{\lambda}\frac{\partial P}{\partial r}$$

$$\frac{\partial P}{\partial r}\left(r\frac{\partial P}{\partial r}\right) = \frac{1}{\lambda}\frac{\partial P}{\partial r}$$

$$\frac{\partial P}{\partial r}\left(r\frac{\partial P}{\partial r}\right) = \frac{1}{\lambda}\frac{\partial P}{\partial r}$$

$$\frac{\partial P}{\partial r}\left(r\frac{\partial P}{\partial r}\right) = \frac{1}{\lambda}\frac{\partial P}{\partial r}$$

$$\frac{\partial P}{\partial r}\left(r\frac{\partial P}{\partial r}\right) = \frac{1}{\lambda}\frac{\partial P}{\partial r}$$

$$\frac{\partial P}{\partial r}\left(r\frac{\partial P}{\partial r}\right) = \frac{1}{\lambda}\frac{\partial P}{\partial r}$$

$$\frac{\partial P}{\partial r}\left(r\frac{\partial P}{\partial r}\right) = \frac{1}{\lambda}\frac{\partial P}{\partial r}$$

$$\frac{\partial P}{\partial r}\left(r\frac{\partial P}{\partial r}\right) = \frac{1}{\lambda}\frac{\partial P}{\partial r}$$

$$\frac{\partial P}{\partial r}\left(r\frac{\partial P}{\partial r}\right) = \frac{1}{\lambda}\frac{\partial P}{\partial r}$$

$$\frac{\partial P}{\partial r}\left(r\frac{\partial P}{\partial r}\right) = \frac{1}{\lambda}\frac{\partial P}{\partial r}$$

$$\frac{\partial P}{\partial r}\left(r\frac{\partial P}{\partial r}\right) = \frac{1}{\lambda}\frac{\partial P}{\partial r}$$

$$\frac{\partial P}{\partial r}\left(r\frac{\partial P}{\partial r}\right) = \frac{1}{\lambda}\frac{\partial P}{\partial r}$$

$$\frac{\partial P}{\partial r}\left(r\frac{\partial P}{\partial r}\right) = \frac{1}{\lambda}\frac{\partial P}{\partial r}$$

$$\frac{\partial P}{\partial r}\left(r\frac{\partial P}{\partial r}\right) = \frac{1}{\lambda}\frac{\partial P}{\partial r}$$

$$\frac{\partial P}{\partial r}\left(r\frac{\partial P}{\partial r}\right) = \frac{1}{\lambda}\frac{\partial P}{\partial r}$$

$$\frac{\partial P}{\partial r}\left(r\frac{\partial P}{\partial r}\right) = \frac{1}{\lambda}\frac{\partial P}{\partial r}$$

Заданы следующие начальные и граничные условия: Initial and boundary conditions are as follows:

$$P(r,0) = P(\infty,t) = P_0$$
$$P(r_c,t) = P_c$$

Задача об определении дебита жидкости при постоянном забойном давлении сводится к отысканию функции q(t) из интегрального уравнения:

The problem of calculation the fluid flow rate at constant bottom hole pressure reduces to finding the function q(t) from integral equation:

$$P_{c} - P_{0} = \frac{\mu}{4\pi Kh} \int_{0}^{t} q(\tau)e^{-\frac{r^{2}}{4\lambda(t-\tau)}} d\tau$$

METHOD)

Heустановившийся режим Unsteady-state flow

Нестационарный дебит жидкости скважины в радиальном пласте при постоянном забойном давлении:

Unsteady fluid flow rate in radial reservoir at constant bottom hole pressure:

$$q^{n} = \frac{4\pi Kh(P_{c} - P_{0})}{\mu} - \sum_{k=1}^{n-1} q^{k} \left[Ei(-\frac{b}{n+1-k}) - Ei(-\frac{b}{n-k}) \right], \quad b = \frac{r_{c}^{2}}{4\lambda \Delta t}, \ \lambda = \frac{K}{m\mu C}$$

h – толщина пласта	h-thickness
m-nopucmocmb	m-porosity
К – проницаемость	K-permeability
r_{c} – радиус скважины	r_{c} – well radius
P_0 – начальное пластовое давление	P_0 – initial reservoir pressure
P_{c} – забойное давление	P_{c} – bottom hole pressure
μ – вязкость жидкости	μ – fluid viscosity
С-общая сжимаемость	C-total compressibility 15

Heустановившийся режим Unsteady-state flow

При отсутствии трещин ГРП или при наличии трещин ГРП с бесконечной проводимостью система уравнений, которая позволяет последовательно во времени определить динамику дебитов всех скважин, имеет вид:

With hydraulic fractures of infinite conductivity or with no hydraulic fractures the equation system which allows to define productivity dynamics in time for all wells is as follows:

$$\sum_{i}^{N} q_{i}^{n} Ei(-\frac{br_{ij}^{2}}{r_{c}^{2}}) = \frac{4\pi Kh}{\mu} \left[P_{c,j}^{n} - P_{0} \right] - \sum_{i}^{N} \left\{ \sum_{k=1}^{n-1} q_{i}^{k} \left[Ei \left[-\frac{br_{ij}^{2}}{(n+1-k)r_{c}^{2}} \right] - Ei \left[-\frac{br_{ij}^{2}}{(n-k)r_{c}^{2}} \right] \right] \right\}, j = 1..N$$

При наличии трещин ГРП с конечной проводимостью система уравнений должна быть дополнена системой уравнений по расчету забойных давлениях на источниках имитирующих трещины:

With hydraulic fractures of finite conductivity to the equation system must be added equations for bottom hole pressures at sources that simulate the fractures:

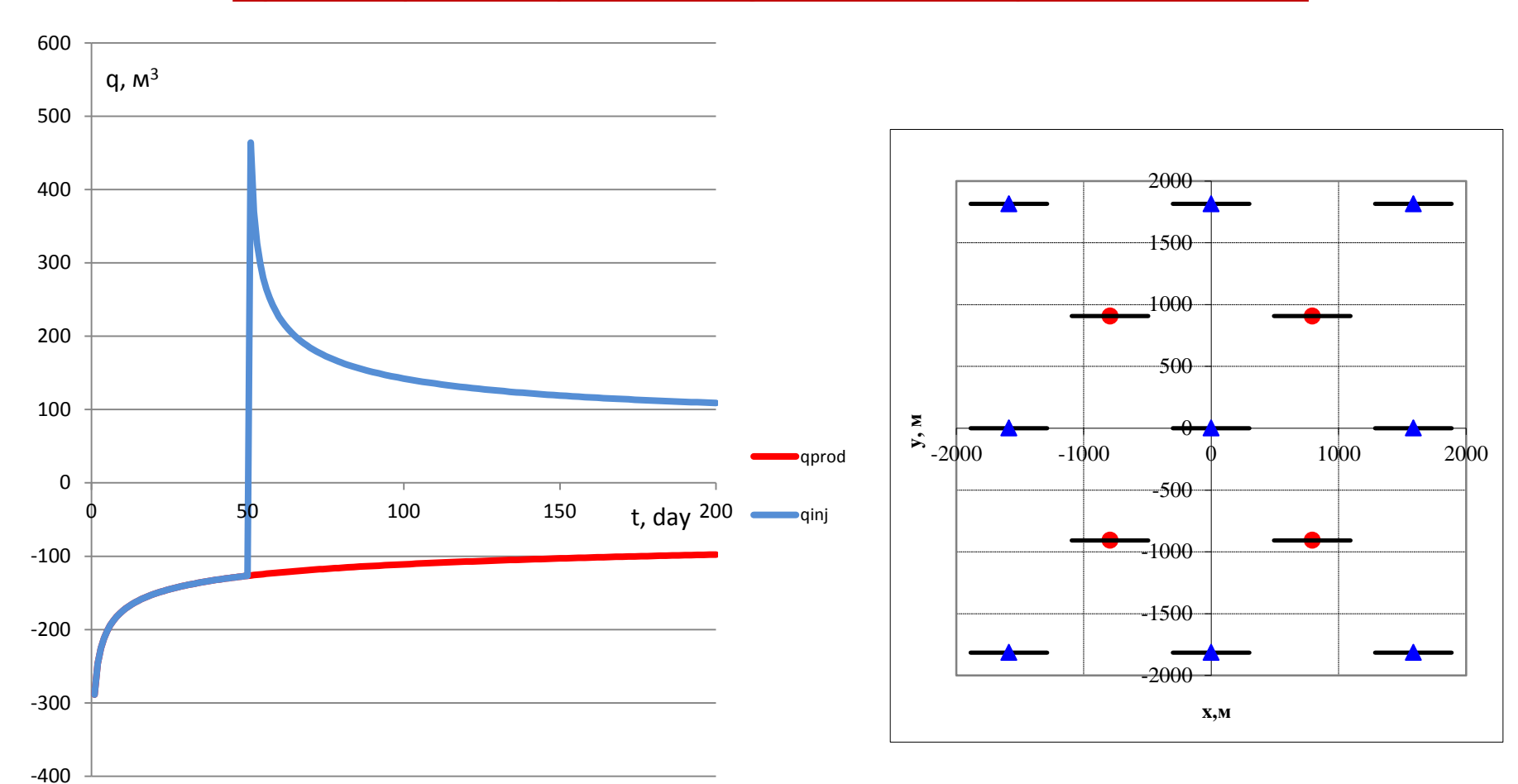
$$U_{c,i+1} = U_{c,0} - \frac{4\pi}{N_{grp}F_{cd}} \left[\sum_{v=1}^{i} vq_v + (i+1) \sum_{v=i+1}^{N_{grp}} q_v + \frac{q_0 - q_{i+1}}{8} \right]$$

где (where)

 $2N_{grp}$ +1 скважин имитируют трещину ГРП

 $2N_{grp} + 1$ wells simulating hydraulic fracture

Оптимальное время отработки нагнетательных скважин Optimal operation period of injection wells in production mode



Метод источников был реализован в виде расчетного модуля Point source method was implemented as a calculation module

Оптимальное время отработки нагнетательных скважин Optimal operation period of injection wells in production mode

КРИТЕРИЙ ОПТИМАЛЬНОСТИ: OPTIMALITY CRITERION:

$$\max_{T} \{Q_{dsc}(q(t),T,r)\}$$

г∂е

where

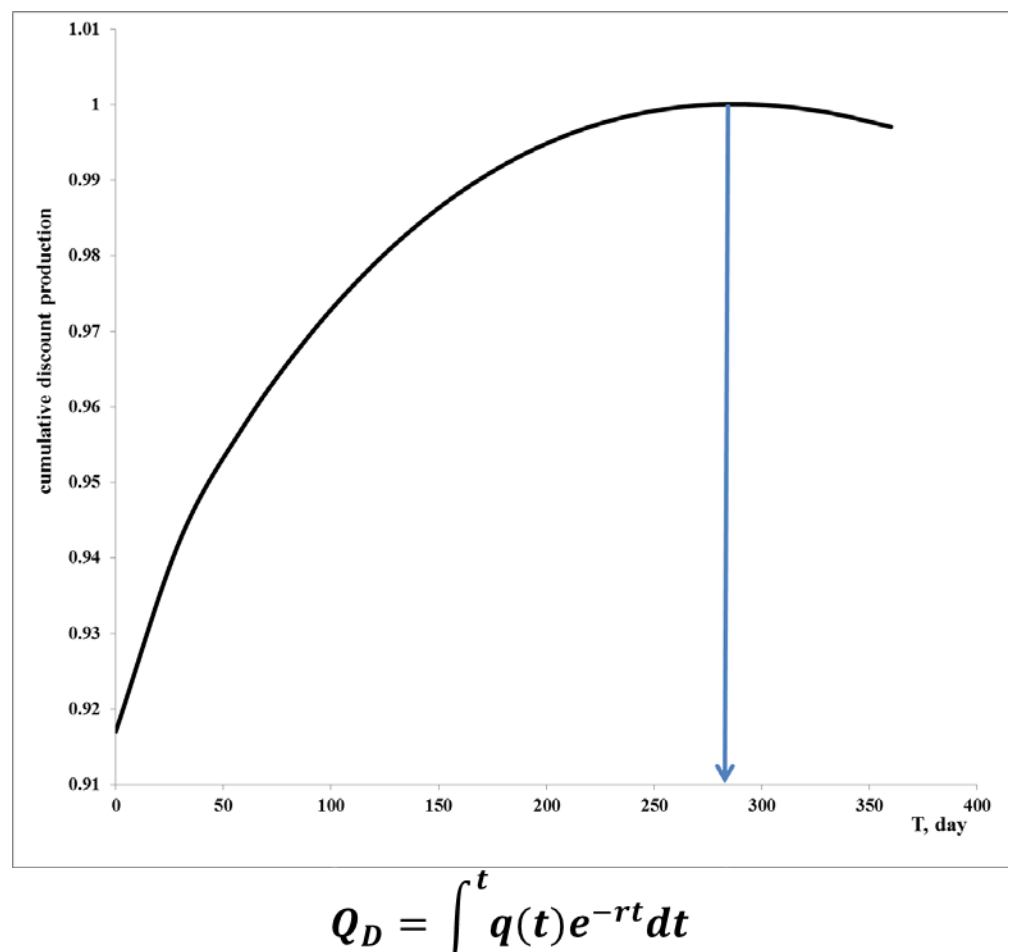
$$Q_{dsc} = \int_{0}^{T} q_{1}(t)e^{-rt}dt + j * \int_{0}^{t} q_{2}(t)e^{-rt}dt$$

 $q_1(t),q_2(t)$ - дебиты скважины в режиме нагнетания и добычи well flow rate in injection and production mode

- T время работы нагнетательной скважины в режиме добычи Injection well operation time in production mode
- t общее время расчета total calculation time
- r коэффициент дисконтирования discounted rate of return
- j количество добывающих скважин, соответствующих одной нагнетательной для выбранной системы разработки number of production wells corresponding to one injection well for selected well pattern $_{18}$

METHOD)

Оптимальное время отработки нагнетательных скважин Optimal operation period of injection wells in production mode

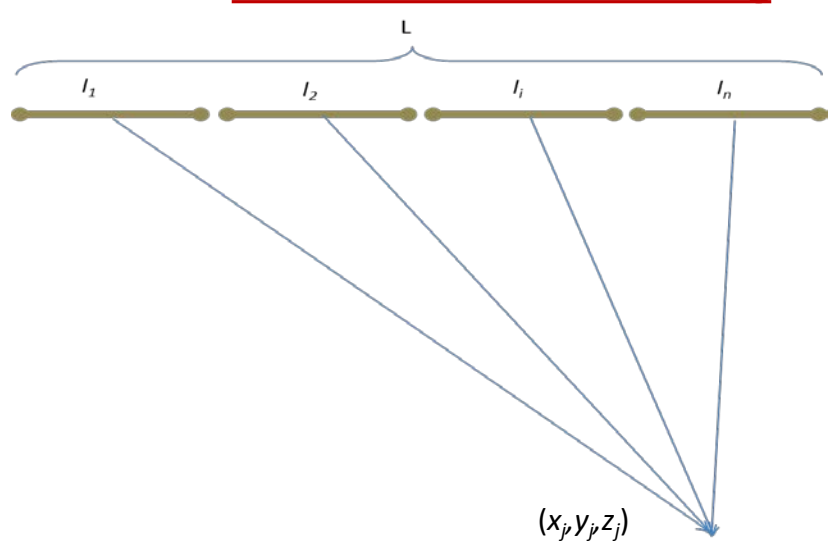


$Q_D =$	$\int_{0}^{t} q(t)e^{-rt}dt$
J	0

Эффективная проницаемость пласта Effective reservoir permeability	1.5	мД, <mark>mD</mark>
Эффективная мощность пласта Effective thickness	10	M, <mark>m</mark>
Проницаемость трещины в добывающей скважине Fracture permeability in production well	200	Д, <mark>D</mark>
Ширина трещины в добывающей скважине Fracture width in production well	0.005	M, m
Проницаемость трещины в нагнетательной скважине Fracture permeability in injection well	200	Д, <mark>D</mark>
Ширина трещины в нагнетательной скважине Fracture width in injection well	0.005	M, m
Вязкость Viscosity	1.41	сПз, <mark>сРѕ</mark>
Общая сжимаемость Total compressibility	0.0002	1/атм, 1/atm
Пористость Porosity	11	%
Полудлина трещины в добывающей скважине Half-length of fracture in production well	100	M, <mark>m</mark>
Полудлина трещины в нагнетательной скважине Half-length of fracture in injection well	100	M, m
Ставка дисконтирования Discounted rate of return	12	%
Плотность сетки Well spacing	50	Га/скв (ha/well)

METHOD)

Моделирование многозабойных скважин Multilateral well modeling



Рассмотрим открытый ствол длины L. Разобьем его на n участков, каждый длиной I_i , зенитным углом $α_i$ и азимутальным углом $β_i$. Тогда потенциал от i-го участка в точке (x_i, y_i, z_i) с учетом граничных условий будет:

Let us consider an open hole of length L. Let us split it into n number of areas each area being of I_i length, inclination angle α_i and horizontal angle β_i . Then the potential of each i-area in point (x_i, y_i, z_i) considering the boundary condition is:

$$F_{j} = -\frac{q_{i}}{4\pi} \sum_{m=-\infty}^{\infty} \int_{-\frac{l_{i}}{2}}^{\frac{l_{i}}{2}} \left[\left[\sqrt{A_{1} + A_{1} + A_{3}} \right]^{-1} + \left[\sqrt{A_{1} + A_{1} + A_{4}} \right]^{-1} - \left[\sqrt{R_{k}^{2} + \left(z_{j} - z_{i} + 2mh \right)^{2}} \right]^{-1} - \left[\sqrt{R_{k}^{2} + \left(z_{j} + z_{i} + 2mh \right)^{2}} \right]^{-1} \right] dl$$
ГДе (where)
$$A_{1} = \left(x_{i} - \left(x_{i} + l \sin \alpha_{i} \cos \beta_{i} \right) \right)^{2}, \quad A_{2} = \left(y_{i} - \left(y_{i} + l \sin \alpha_{i} \sin \beta_{i} \right) \right)^{2}$$

$$A_{3} = \left(z_{i} - \left(z_{i} + l \cos \alpha_{i} \right) + 2mh \right)^{2}, \quad A_{4} = \left(z_{i} + \left(z_{i} + l \cos \alpha_{i} \right) + 2mh \right)^{2}$$

По материалам работы: М.В. Двойников, Ж.М. Колев, Д.Д. Водорезов, А.В. Ошибков «Модель работы многозабойной скважины с различными типами конструкции забоев при стационарном режиме –Нефтяное хозяйство 2014 »

Моделирование многозабойных скважин Multilateral well modeling

Выпишем интеграл:

$$\int_{-\frac{l_{i}}{2}}^{\frac{l_{i}}{2}} \left[\sqrt{A_{1} + A_{1} + A_{3}} \right]^{-1} d\boldsymbol{l} = \int_{-\frac{l_{i}}{2}}^{\frac{l_{i}}{2}} \left[\sqrt{al^{2} + bl + c} \right]^{-1} d\boldsymbol{l}$$

Let us take the integral equation:

$$a = 1$$
, $b = -2((x_j - x_i) \sin \alpha_i \cos \beta_i + (y_j - y_i) \sin \alpha_i \sin \beta_i + (z_j - z_i + 2mh))$,
 $c = (x_j - x_i)^2 + (y_j - y_i)^2 + (z_j - z_i + 2mh)^2$

Решением будет

The solution shall be

$$\int_{-\frac{l_i}{2}}^{\frac{l_i}{2}} \left[\sqrt{al^2 + bl + c} \right]^{-1} dl = \log \left(2 \sqrt{\left(\frac{l_i}{2}\right)^2 + b\left(\frac{l_i}{2}\right) + c} + 2\left(\frac{l_i}{2}\right) + b \right) - \log \left(2 \sqrt{\left(-\frac{l_i}{2}\right)^2 + b\left(-\frac{l_i}{2}\right) + c} + 2\left(-\frac{l_i}{2}\right) + b \right) - \log \left(2 \sqrt{\left(-\frac{l_i}{2}\right)^2 + b\left(-\frac{l_i}{2}\right) + c} + 2\left(-\frac{l_i}{2}\right) + b \right) - \log \left(2 \sqrt{\left(-\frac{l_i}{2}\right)^2 + b\left(-\frac{l_i}{2}\right) + c} + 2\left(-\frac{l_i}{2}\right) + b \right) - \log \left(2 \sqrt{\left(-\frac{l_i}{2}\right)^2 + b\left(-\frac{l_i}{2}\right) + c} + 2\left(-\frac{l_i}{2}\right) + b \right) - \log \left(2 \sqrt{\left(-\frac{l_i}{2}\right)^2 + b\left(-\frac{l_i}{2}\right) + c} + 2\left(-\frac{l_i}{2}\right) + b \right) - \log \left(2 \sqrt{\left(-\frac{l_i}{2}\right)^2 + b\left(-\frac{l_i}{2}\right) + c} + 2\left(-\frac{l_i}{2}\right) + b \right) - \log \left(2 \sqrt{\left(-\frac{l_i}{2}\right)^2 + b\left(-\frac{l_i}{2}\right) + c} + 2\left(-\frac{l_i}{2}\right) + b \right) - \log \left(2 \sqrt{\left(-\frac{l_i}{2}\right)^2 + b\left(-\frac{l_i}{2}\right) + c} + 2\left(-\frac{l_i}{2}\right) + b \right) - \log \left(2 \sqrt{\left(-\frac{l_i}{2}\right)^2 + b\left(-\frac{l_i}{2}\right) + c} + 2\left(-\frac{l_i}{2}\right) + b \right) - \log \left(2 \sqrt{\left(-\frac{l_i}{2}\right)^2 + b\left(-\frac{l_i}{2}\right) + c} + 2\left(-\frac{l_i}{2}\right) + b \right) - \log \left(2 \sqrt{\left(-\frac{l_i}{2}\right)^2 + b\left(-\frac{l_i}{2}\right) + c} + 2\left(-\frac{l_i}{2}\right) + b \right) - \log \left(2 \sqrt{\left(-\frac{l_i}{2}\right)^2 + b\left(-\frac{l_i}{2}\right) + c} + 2\left(-\frac{l_i}{2}\right) + b \right) - \log \left(2 \sqrt{\left(-\frac{l_i}{2}\right)^2 + b\left(-\frac{l_i}{2}\right) + c} + 2\left(-\frac{l_i}{2}\right) + b \right) - \log \left(2 \sqrt{\left(-\frac{l_i}{2}\right)^2 + b\left(-\frac{l_i}{2}\right) + c} + 2\left(-\frac{l_i}{2}\right) + b \right) - \log \left(2 \sqrt{\left(-\frac{l_i}{2}\right)^2 + b\left(-\frac{l_i}{2}\right) + c} + 2\left(-\frac{l_i}{2}\right) + b \right) - \log \left(2 \sqrt{\left(-\frac{l_i}{2}\right)^2 + b\left(-\frac{l_i}{2}\right) + c} + 2\left(-\frac{l_i}{2}\right) + b \right) - \log \left(2 \sqrt{\left(-\frac{l_i}{2}\right)^2 + b\left(-\frac{l_i}{2}\right) + c} + 2\left(-\frac{l_i}{2}\right) + b \right) - \log \left(2 \sqrt{\left(-\frac{l_i}{2}\right)^2 + b\left(-\frac{l_i}{2}\right) + c} + 2\left(-\frac{l_i}{2}\right) + b \right) - \log \left(2 \sqrt{\left(-\frac{l_i}{2}\right)^2 + b\left(-\frac{l_i}{2}\right) + b} \right) - \log \left(2 \sqrt{\left(-\frac{l_i}{2}\right)^2 + b} \right) - \log \left(-\frac{l_i}{2}\right) + \log \left(-\frac{l_i}{2}\right)$$

Аналогично находится второе слагаемое, третье и четвертое слагаемые не зависят от *I*. Обозначим сумму как *Sij* и перейдем к депрессии:

Депрессия от всех линейных источников:

$$\Delta P_{j} = \frac{q_{i}\mu}{4\pi k} S_{ij}$$

$$\Delta P_{j} = \sum_{i=1}^{n} \frac{q_{i}\mu}{4\pi k} S_{ij}$$

Зная координаты всех источников и забойное давление, выписав n уравнений для всех источников, можно найти дебиты. Значение потенциала в нуле не определено, необходимо определить потенциал на границе скважины Rw:

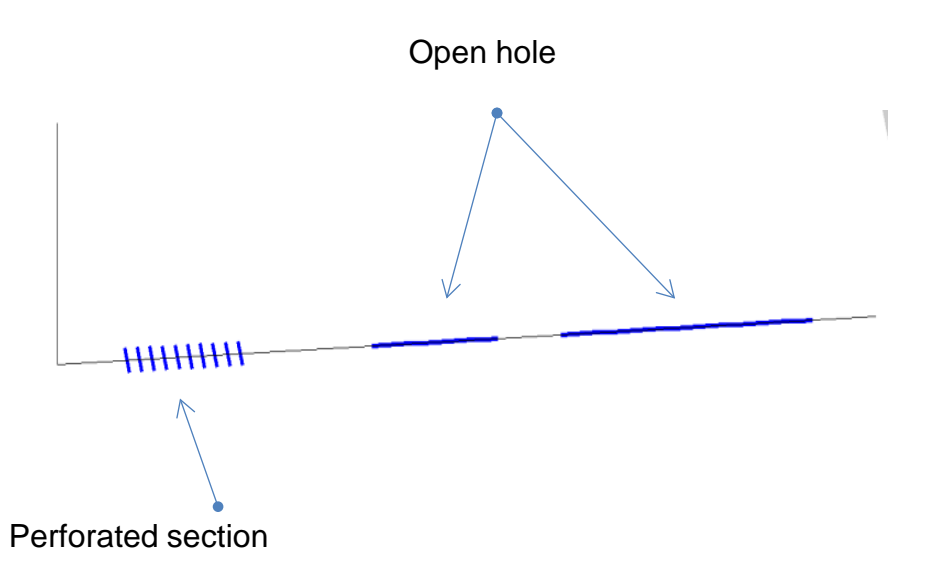
$$\int_0^{\frac{l_i}{2}} \frac{2}{\sqrt{Rw^2 + l^2}} dl = 2 \log \left(\frac{l_i}{2R_w} + \sqrt{1 + \left(\frac{l_i}{2R_w}\right)^2} \right)$$

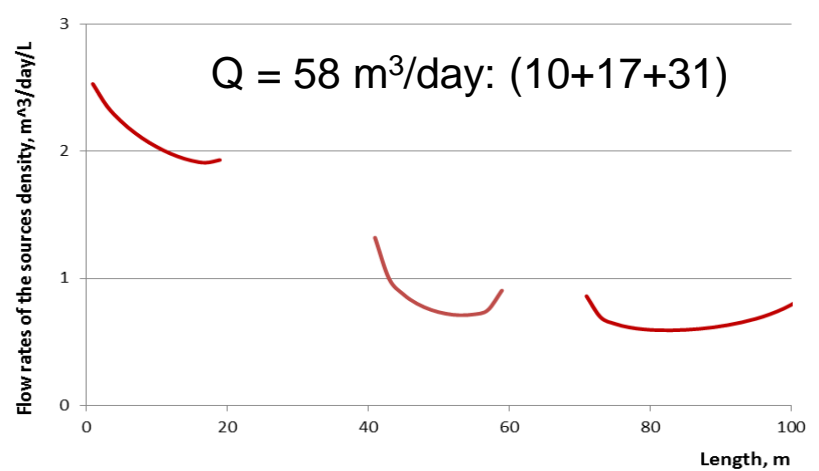
По материалам работы: М.В. Двойников, Ж.М. Колев, Д.Д. Водорезов, А.В. Ошибков «Модель работы многозабойной скважины с различными типами конструкции забоев при стационарном режиме –Нефтяное хозяйство 2014 »

Моделирование многозабойных скважин Multilateral well modeling

Пример: Длина перфорационного участка 20 м, длины открытых стволов 20 и 40 м, толщина пласта 6 м, R_c =1500 м, R_w =0.1 м, радиус перфорационных каналов R_p =0.01 м, длина перфорационных каналов L_p = 0.5 м, P_c =300 атм, P_w =200 атм, k=40 мД, μ =5 сП.

Example: Length of perforation section is 20 m, open hole lengths are 20 and 40m, reservoir thickness is 6 m, R_c =1500 m, R_w =0.1 m, radius of perforation channel is R_p =0.01 m, length of perforation channel is L_p = 0.5 m, P_c =300 atm, P_w =200 atm, k=40 mD, μ =5 cP





МЕТОД МОДЕЛИРОВАНИЯ:

- Методом точечных источников рассчитываются дебиты всех скважин в системе разработки
- Строятся каналы 2-фазной фильтрации трубки тока.
- Для каждой трубки решается 1-мерная задача вытеснения.

MODELING METHOD:

- The flow rate for each well is calculated using point source method
- Two-phase filtration channels are constructed streamtubes
- One-dimensional displacement problem is solved for each streamtube.

Схема расчета двухфазной фильтрации

Подготовка входных данных (Зависимость коэффициента охвата от длины трубок тока, МОФП)

Расчет дебитов q_i по известным Р_{забойное, і} для всех скважин (однофазный случай) — решение СЛАУ

 $\vec{P}_{_{3a\tilde{0}}}=A\vec{q}$

Расчет поля давления по пласту

Дебит жидкости и нефти при двухфазной фильтрации для каждой скважины элемента разработки

Two phase filtration calculation scheme

Preparation of input data (dependence of surface efficiency on streamtubes lengths, PRP)

streamtubes routing

(coordinates, volume from a

coordinate)

Calculation of production rates q_i using known P_{bottom hole, i} for every well (single-phase) – solving a system of linear algebraic equations

 $\vec{P}_{bottom-hole} = A\vec{q}$

Calculation of pressure field in reservoir

Fluid and oil flow rate in case of two-phase filtration for each well of the development unit

Решение одномерной задачи вытеснения (Баклея-Леверетта) на каждой трубке тока; Суммирование технологических характеристик по всем трубкам

Трассировка трубок тока

(координаты, объем от

координаты)

Solving a one-dimensional displacement problem(J-function) for each streamtube; Summing the technical characteristics for all tubes

24

ПРИБЛИЖЕНИЯ

- Пласт однородный и бесконечный по протяженности
- Однородная сжимаемая жидкость движется в однородной, изотропной, сжимаемой, пористой среде
- Трещина ГРП полностью вскрывает пласт
- Р Поддерживается постоянной забойное давление на каждом из режимов работы скважины

APPROXIMATIONS:

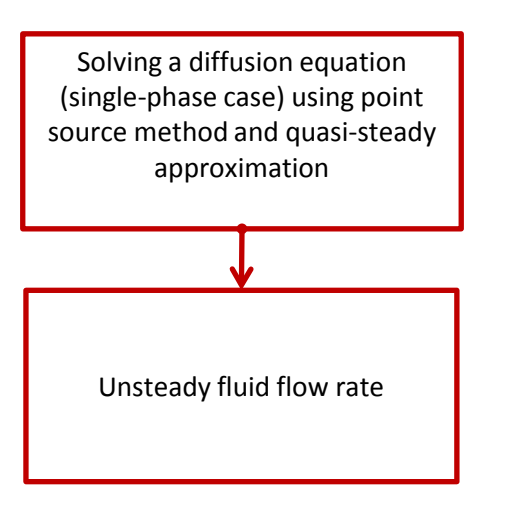
- reservoir is homogeneous and infinite
- homogeneous compressible fluid flows in homogeneous, isotropic, compressible, porous medium
- Hydraulic fracture fully penetrates the reservoir
- Bottom hole pressure in each operation mode of the well is maintained constant

Схема расчета неустановившегося режима

Решение уравнения пьезопроводности (однофазный случай) методами точечных источников и квазистационарного приближения

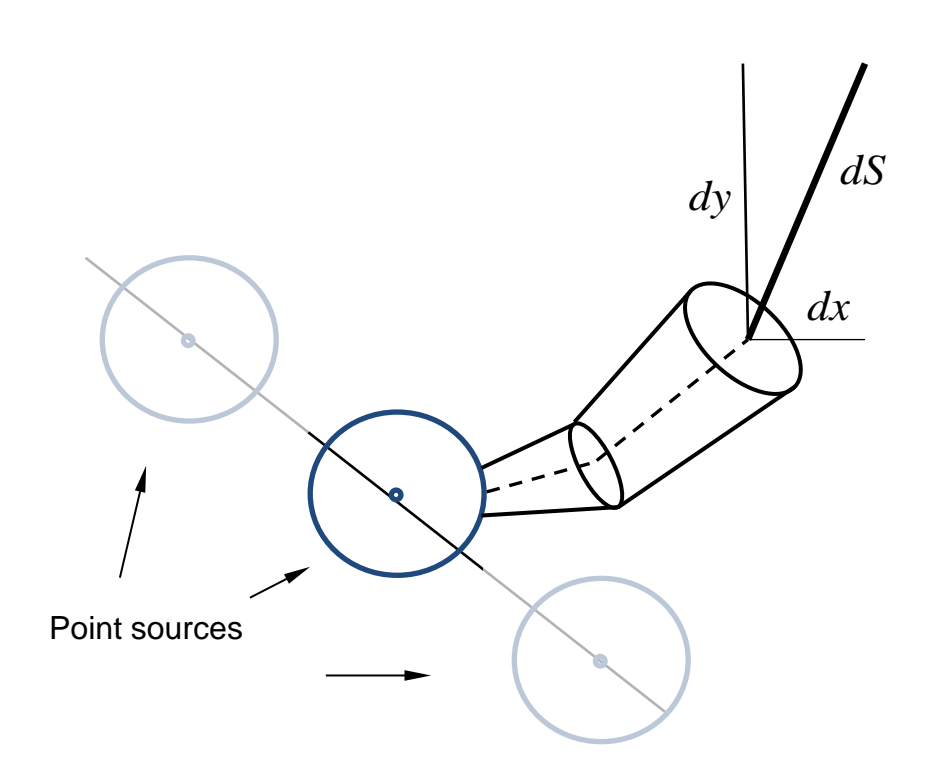
Нестационарный дебит жидкости

Unsteady flow mode calculation scheme



Трассировка линий тока

Streamlines routing



От каждого источника, моделирующего нагнетательную скважину, трассируются линии тока.

Трассировка линий тока производится по **стационарному** полю давлений для **однофазного** случая:

$$\frac{dx}{dS} = \frac{V_x}{V}; \quad \frac{dy}{dS} = \frac{V_y}{V}.$$

где скорости фильтрации:

$$V_x = -\frac{k}{\mu} \frac{\partial P}{\partial x}; V_y = -\frac{k}{\mu} \frac{\partial P}{\partial y};$$

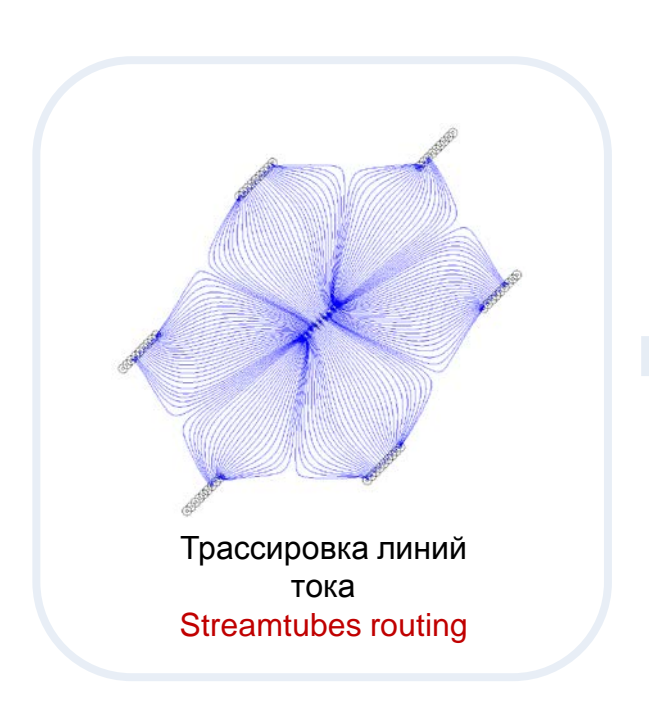
$$V = \sqrt{V_x^2 + V_y^2}$$

Полученная система обыкновенных дифференциальных уравнений

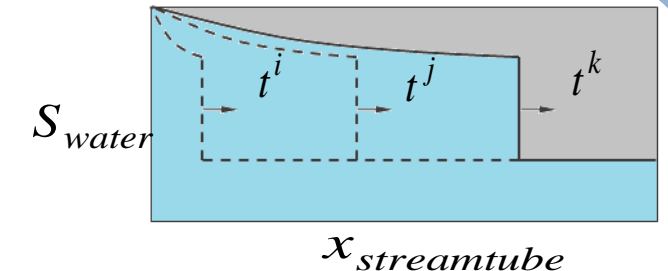
$$\frac{dx}{dS} = \frac{\partial_x P}{\sqrt{(\partial_x P)^2 + (\partial_y P)^2}}; \quad \frac{dy}{dS} = \frac{\partial_y P}{\sqrt{(\partial_x P)^2 + (\partial_y P)^2}}$$

решается явным методом Рунге-Кутта.

Фильтрация вдоль трубок тока Filtration through the streamtubes



- для каждой трубки тока решается одномерная задача вытеснения;
- for each tube a onedimensional problem is solved
- суммирование технологических характеристик по всем трубкам.
- summing the technological characteristics for all tubes.



 $q_{liquid}(t^k) = \sum_{n=1}^{N_{mpy60\kappa}} q_{n,liquid}^k$

$$q_{oil}(t^k) = \sum_{n=1}^{N_{mpy\delta ok}} q_{n,oil}^k$$

ИНСТРУМЕНТ МОДЕЛИРОВАНИЯ РАЗЛИЧНЫХ СИСТЕМ РАЗРАБОТКИ

MODELING TOOL FOR VARIOUS DEVELOPMENT SYSTEMS

Фильтрация вдоль трубок тока Filtration through the streamtubes

 $P_{oil} = P_{water} = P$

Задача одномерного вытеснения решается на основе уравнения материального баланса.

The one-dimensional displacement problem is solved using the material balance equation.

Основные допущения модели:

Main assumptions of the model:

- для плотностей фаз: for phases density:
- $\rho_{oil} = const \ \rho_{water} = const$
- пренебрегаем величиной капиллярного давления: capillary pressure value is neglected
- Пористость
- $\varphi = const$
- porosity

System of equations:

$$\varphi A(x) \frac{\partial S_{water}}{\partial t} + q_{liquid}(t) \frac{df}{dS_{water}} \cdot \frac{\partial S_{water}}{\partial x} = 0$$

$$\varphi A(x) \frac{\partial S_{water}}{\partial t} + q_{liquid}(t) \frac{df}{dS_{water}} \cdot \frac{\partial S_{water}}{\partial x} = 0$$

$$\Delta P(t) = -q_{liquid}(t) \cdot \frac{1}{k} \int_{0}^{L_{mpy\delta \kappa u}} \frac{dx}{A(x) \cdot \lambda(S_{water})}$$

Notations:

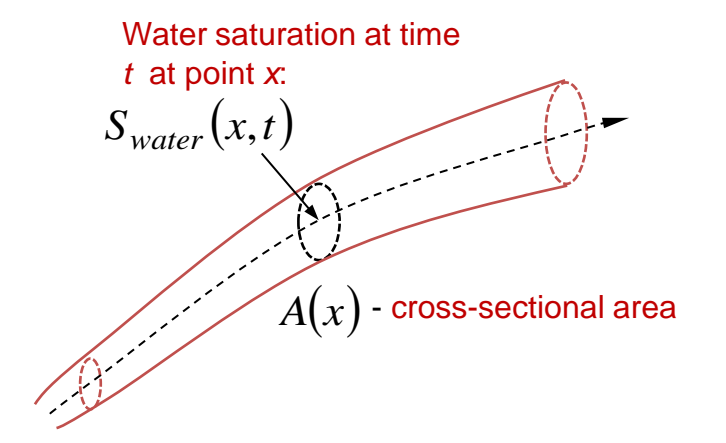
•
$$\lambda(S_{water}) = \frac{k_{oil}(1 - S_{water})}{\mu_{oil}} + \frac{k_{water}(S_{water})}{\mu_{water}}$$
 - Total mobility

Notations:
$$\lambda(S_{water}) = \frac{k_{oil}(1 - S_{water})}{\mu_{oil}} + \frac{k_{water}(S_{water})}{\mu_{water}} - \text{Total mobility};$$

$$\cdot f(S_{water}) = \frac{k_{water}(S_{water})}{\mu_{water}} \cdot \frac{1}{\lambda(S_{water})} - \text{fractional flow};$$

$$\cdot \Delta P(t) - \text{pressure difference at the streamtube ends};$$

$$\cdot q_{liquid}(t) - \text{liquid rate} - \text{permeability}$$



Сшивка нестационарного однофазного и «стационарного» двухфазного решений Joining unsteady single phase and "steady" two-phase solutions

Из стационарного двухфазного решения получаем характеристику вытеснения и зависимость дебита жидкости от КИН.

Displacement curve and dependence of fluid flow rate on OIL RECOVERY FACTOR are obtained from the steady-state two-phase solution

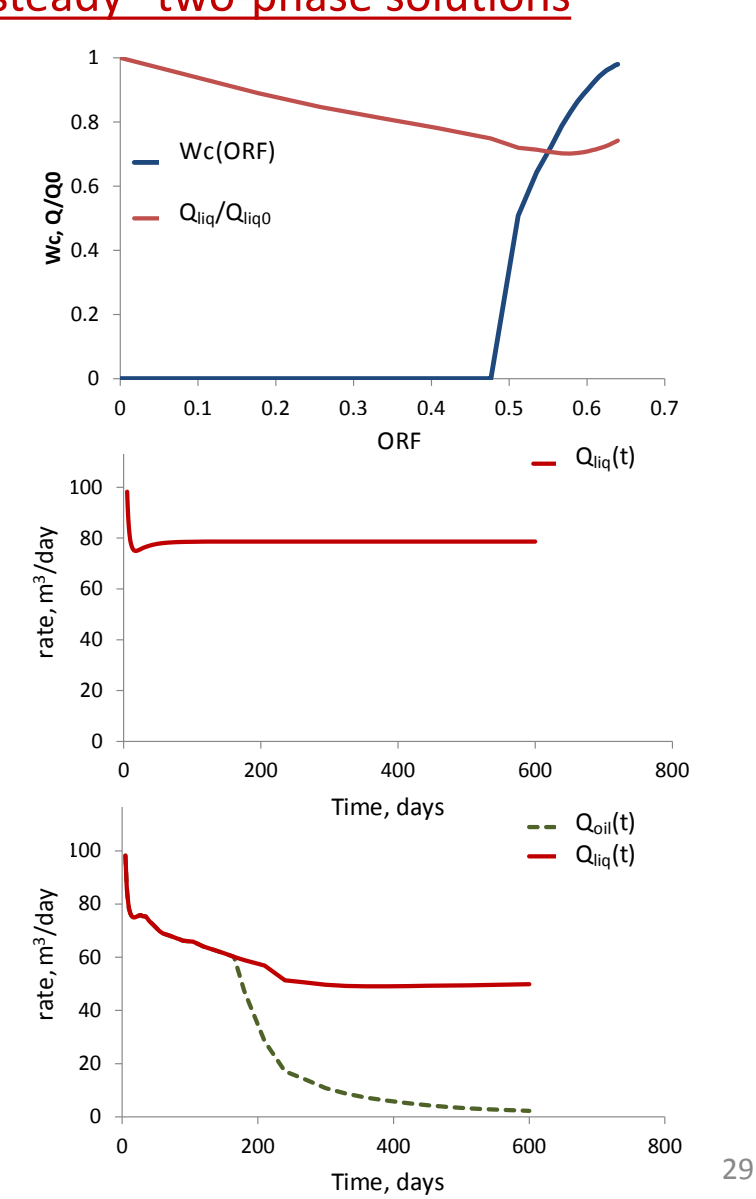


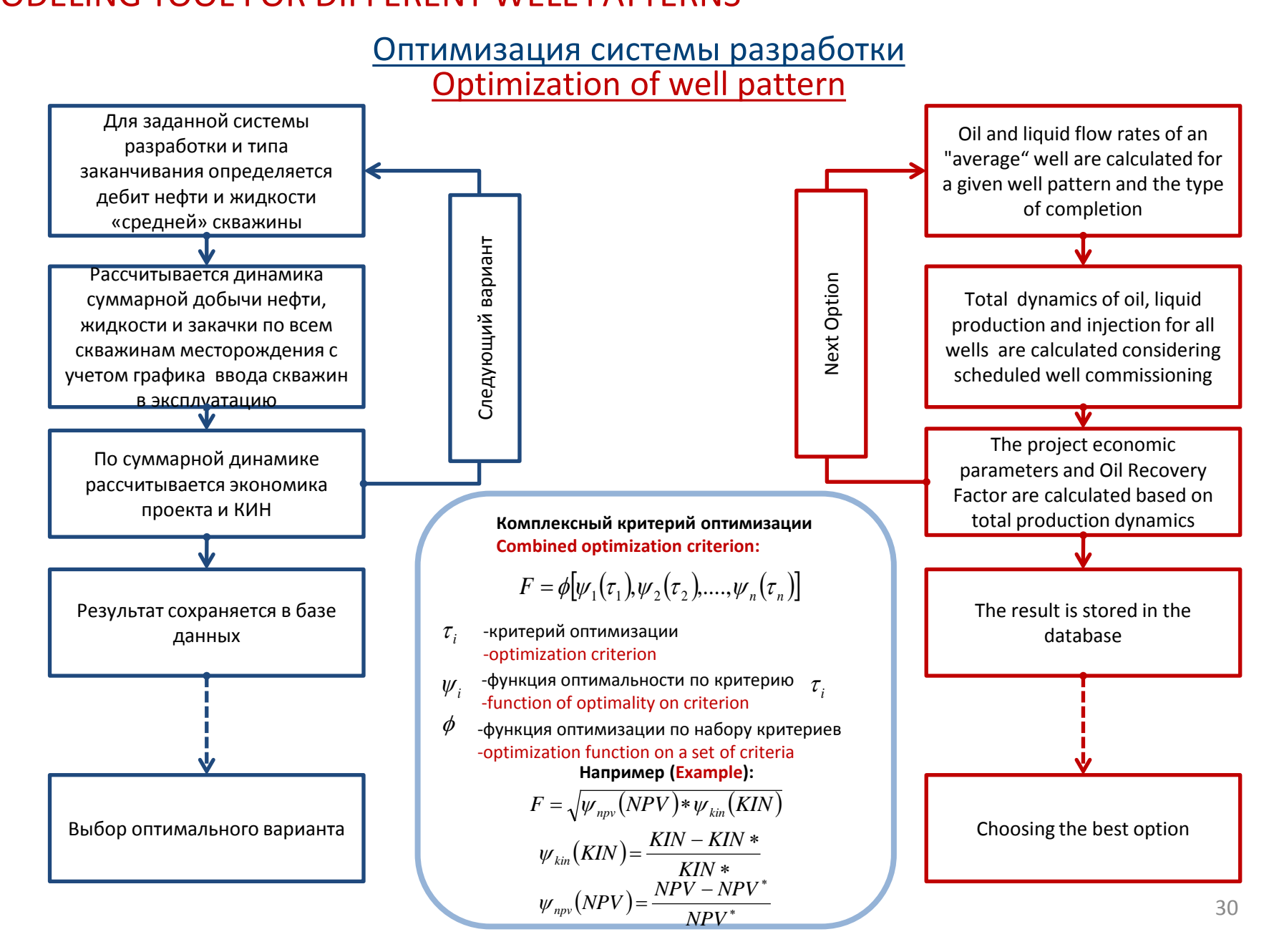
Из нестационарного однофазного решения получаем зависимость дебита жидкости от времени.

Dependence of liquid flow rate on time is obtained from the unsteady solution

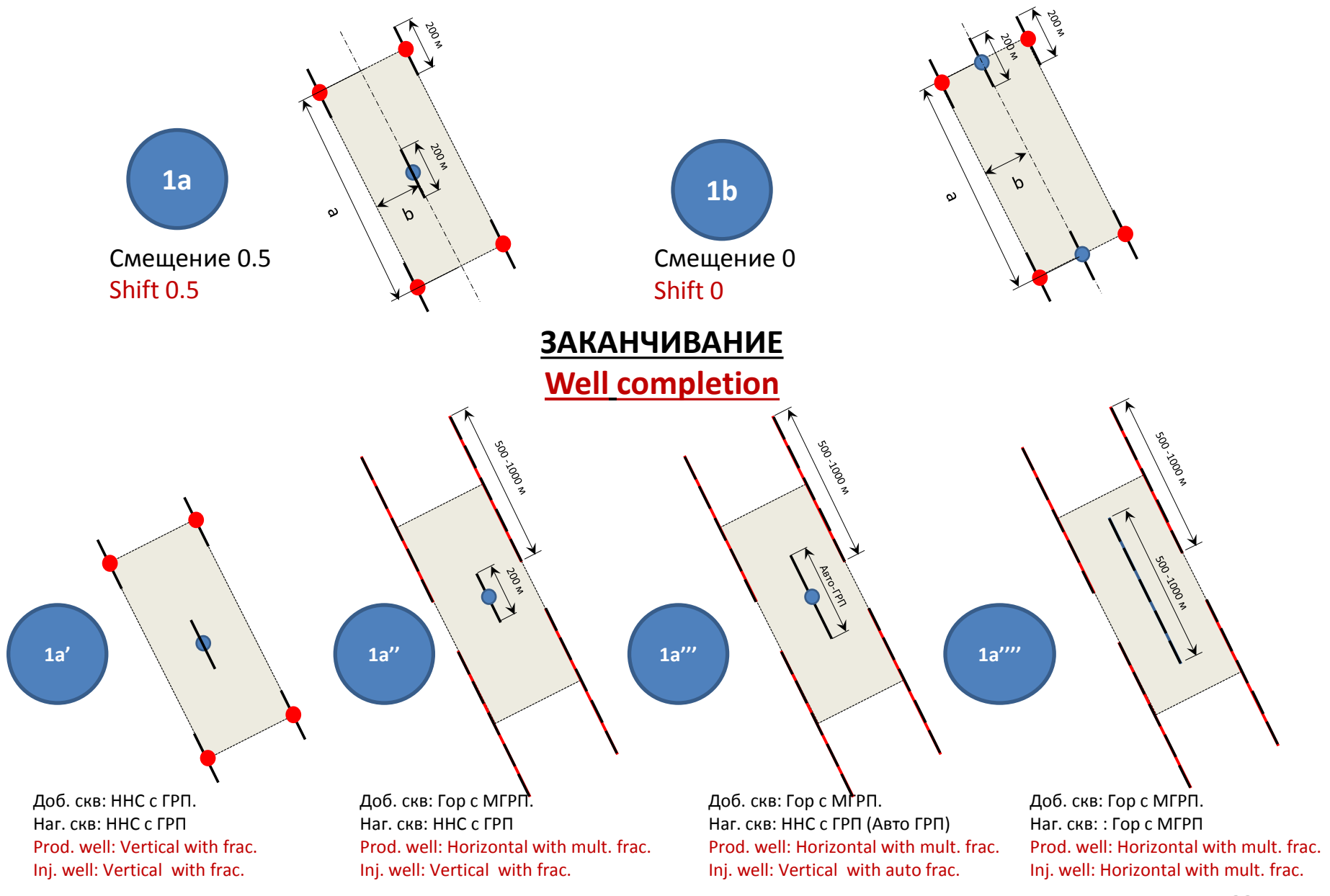


Делаем поправку нестационарного дебита жидкости и восстанавливаем нестационарный дебит нефти. Making the correction of unsteady fluid flow rate then restore the unsteady oil rate.

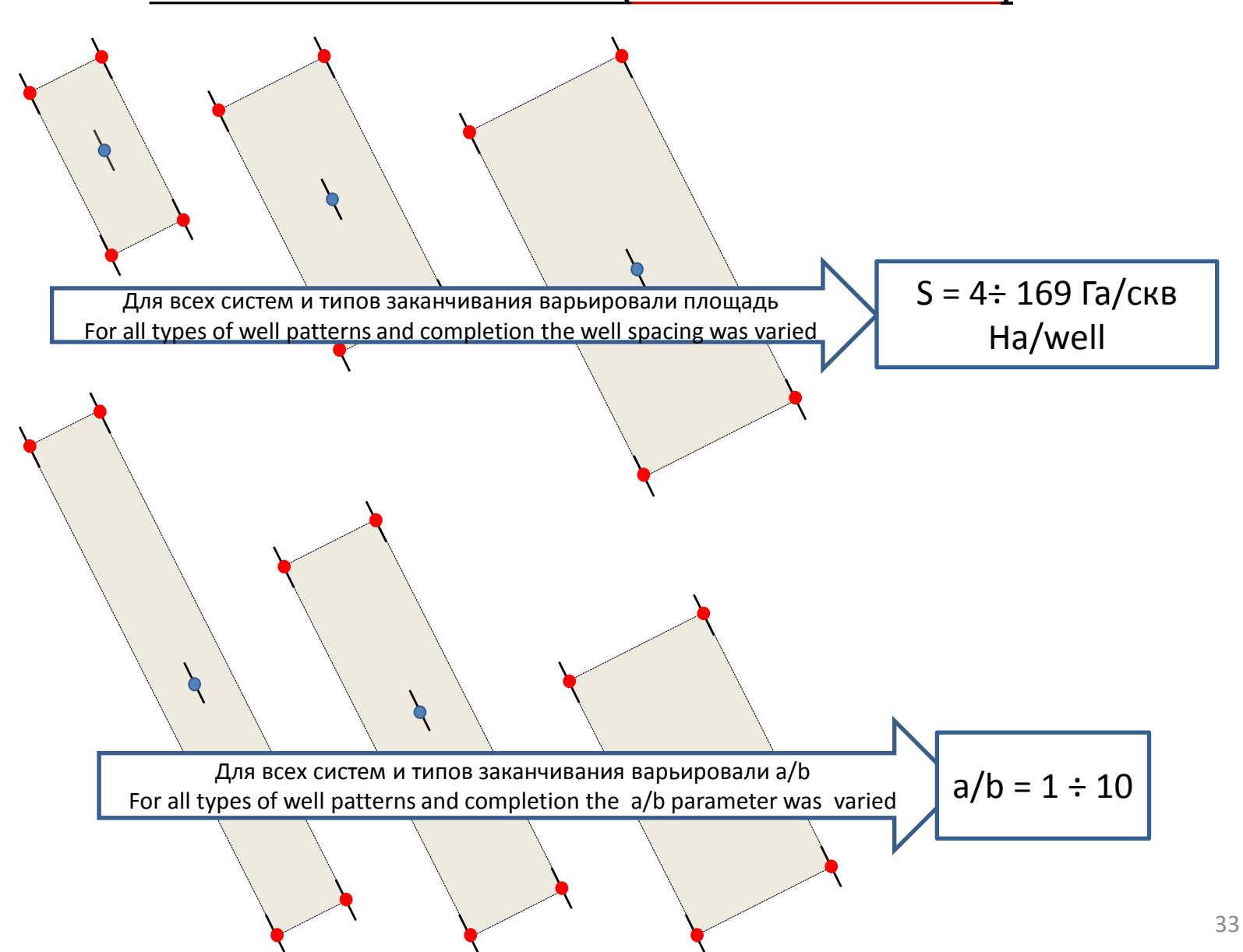


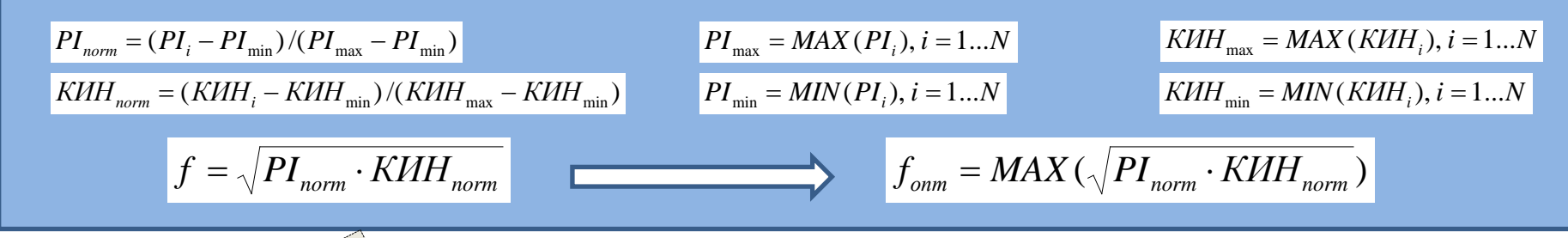


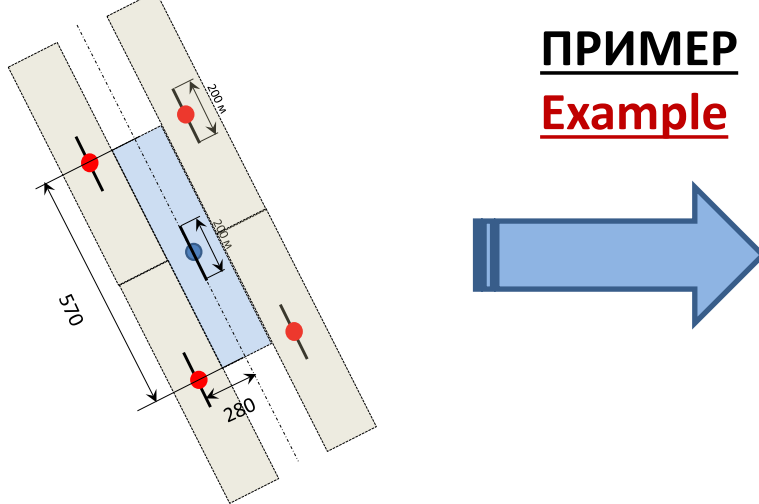
ПРИМЕР ВЫБОРА ОПТИМАЛЬНОЙ СИСТЕМЫ РАЗРАБОТКИ EXAMPLE OF OPTIMAL WELL PATTERN SELECTION



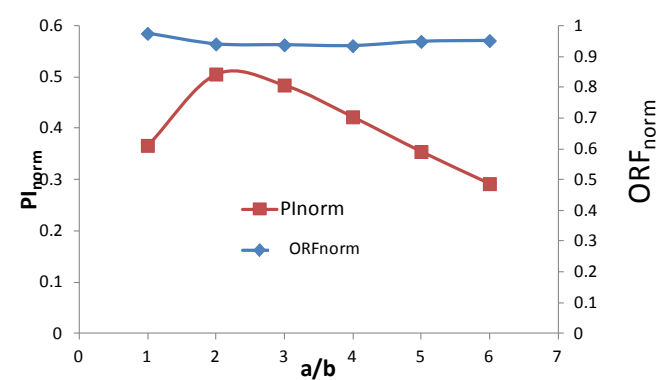
ВАРЬИРУЕМЫЕ ПАРАМЕТРЫ (VARIABLE PARAMETERS)



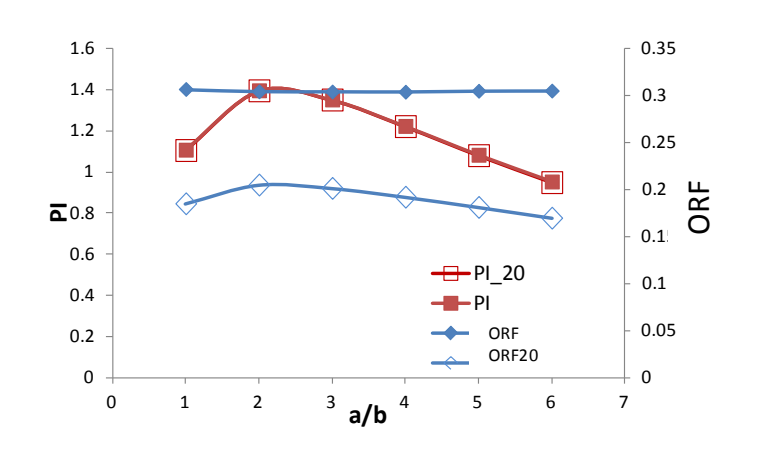




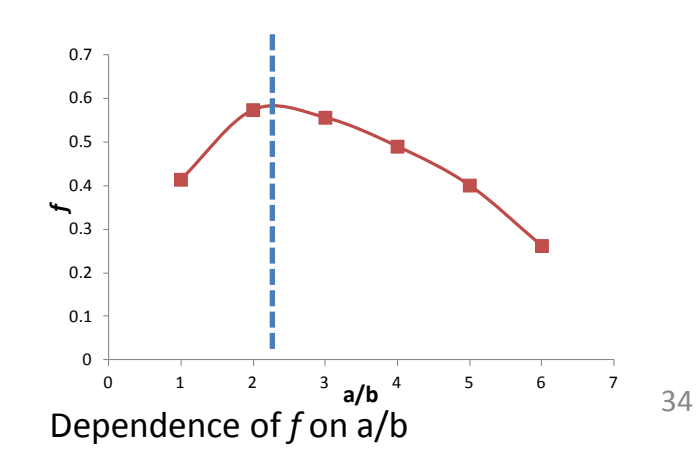
Five point well pattern of vertical wells with fractures at A=16 Ha/well.



Dependence of normalized PI and ORF on a/b



Dependence of PI and ORF on a / b

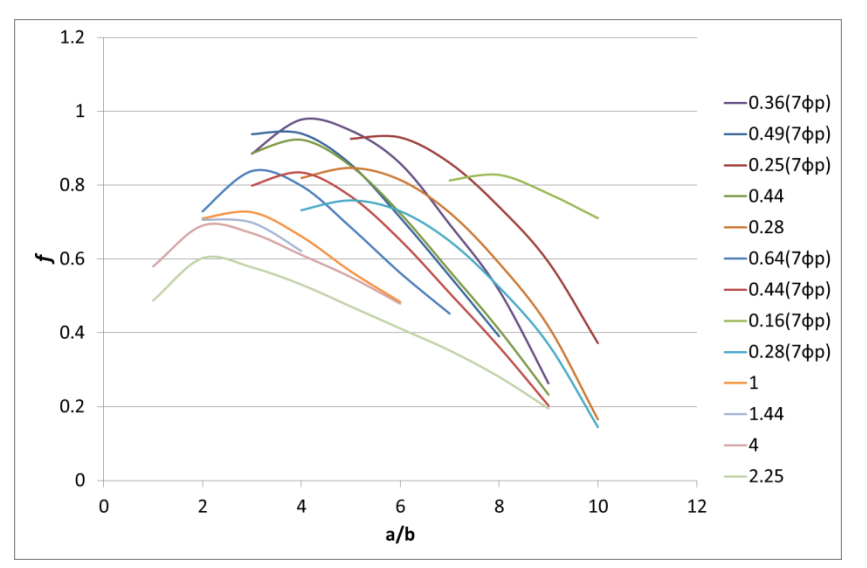


Во всех случаях вариант со смещением 0.5 оказывается оптимальнее вариантов с нулевым смещением

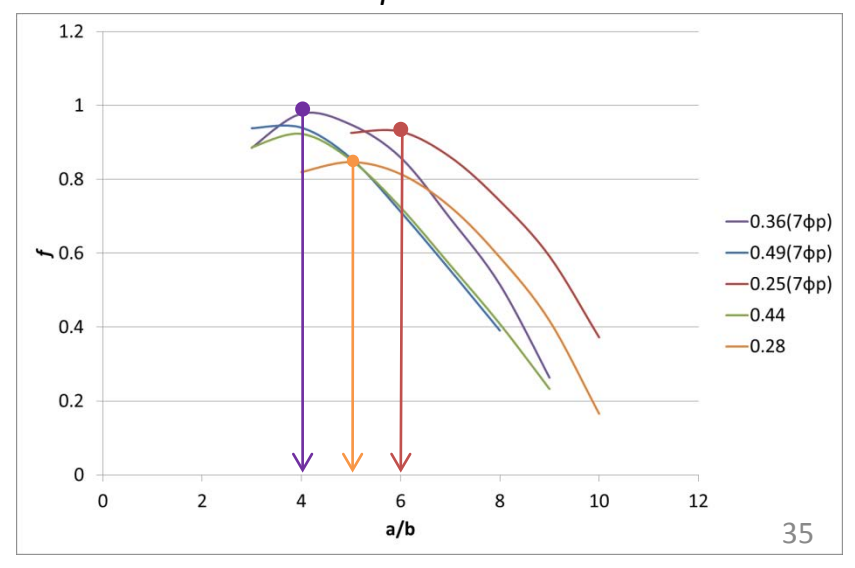
In all cases the option with a shift parameter 0.5 is better than the one with zero shift

A area per well, Ha/well	L length of horizontal well , m	A/L ²	
16	1000	0,16	
25	1000	0,25	
16	750	0,28	
36	1000	0,36	
25	750	0,44	
49	1000	0,49	
16	500	0,64	
25	1000	1	
36	500	1,44	
9	200 (fracture)	2,25	
16	200 (fracture)	4	

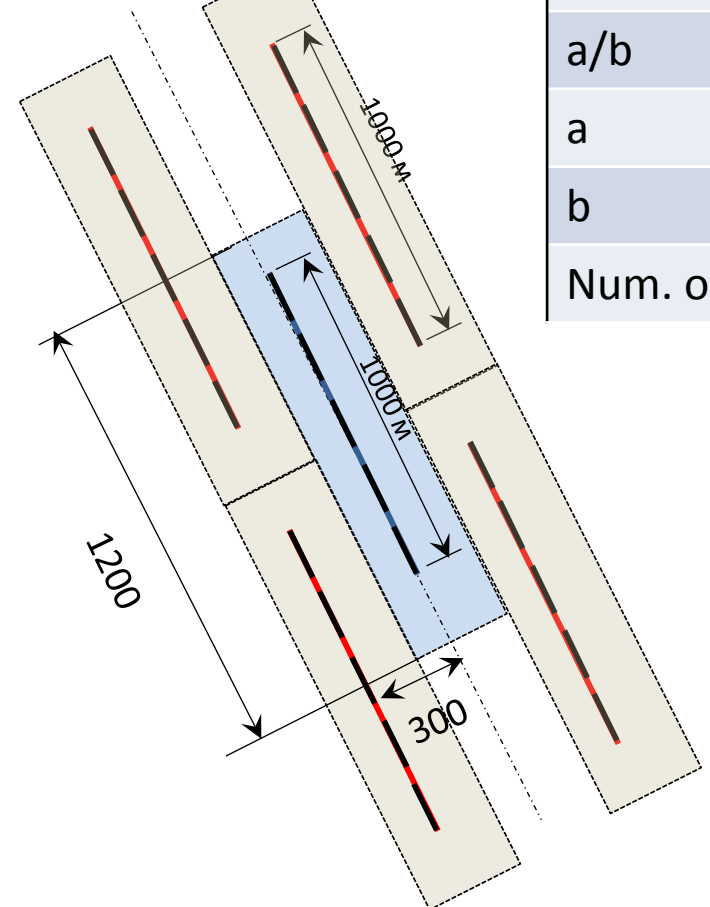
All variants



Top 5



Well pattern parameters		Economic parameters*	
36 Ha/well	PI_98%	2.072	
1000 M	ORF_98%	0.3075	
4	ORF20	0.237	
1200M	PI20	2.065	
300M			
7			
	36 Ha/well 1000 M 4 1200M	36 Ha/well PI_98% 1000 M ORF_98% 4 ORF20 1200M PI20	



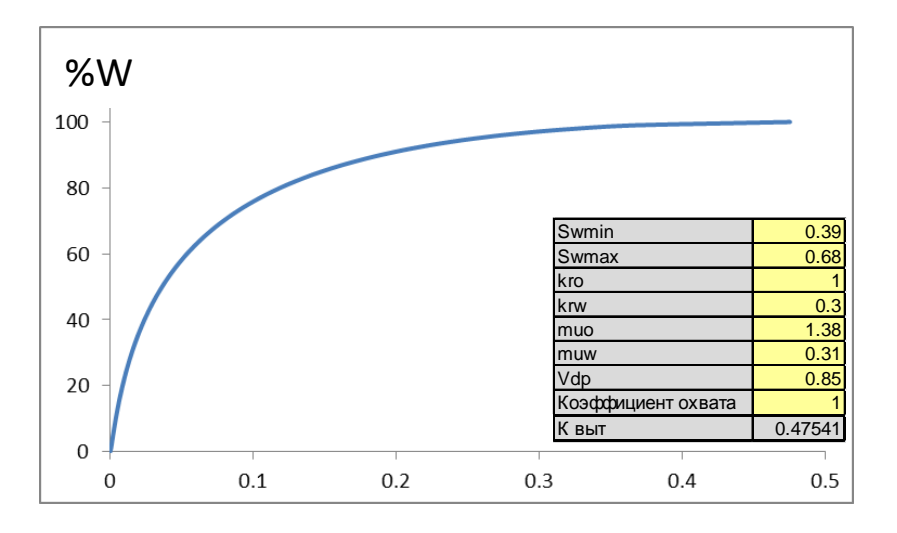
ПРИМЕР ИСПОЛЬЗОВАНИЯ МЕТОДА ТОЧЕЧНЫХ ИСТОЧНИКОВ ДЛЯ РАСЧЕТА ДЕБИТОВ СКВАЖИН **EXAMPLE OF USING POINT** SOURCE METHOD FOR WELL PRODUCTIVITY CALCULATION

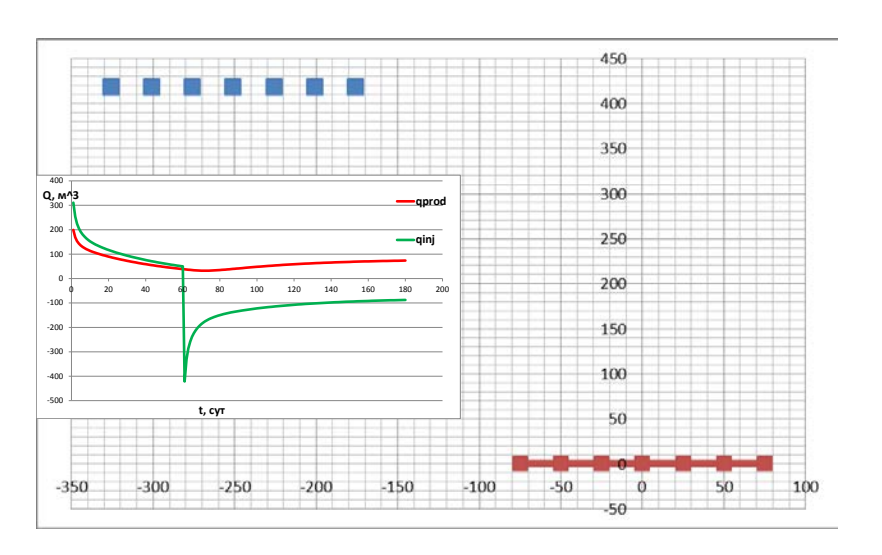
ПРЕДЛАГАЕМАЯ METOДИКА (PROPOSED METHOD)

Step 1: input - physico-chemical and reservoir properties, well pattern geometry; output – unsteady flow fluid rate

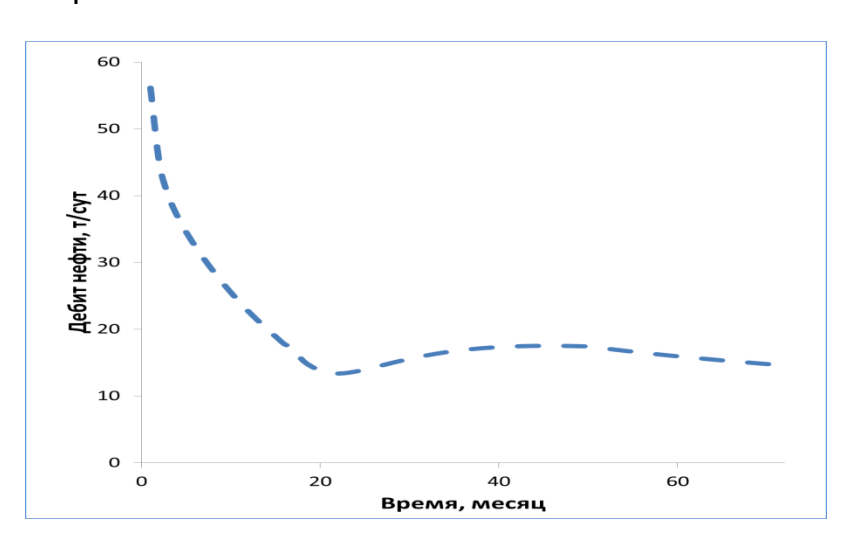
Начальное пластовое давление	270	атм
Забойное давление на добывающей	70	атм
Забойное давление на нагнетательной	450	атм
Эффективная проницаемость пласта	0.6	мД
Эффективная мощность пласта	30	М
Вязкость	1.38	спз
Общая сжимаемость	0.00025	1/атм
Пористость	0.17	
		· ·
Полудлина (трещины/ствола ГС) в добывающей скважине	75	M
Полудлина (трещины/ствола ГС) в нагнетательной скважине	75	М
Сист ема разработ ки:	5	
Время работы нагнетательных скважин в отработке	470	сут

Step 2: calculating the displacement curve using Dykstra-Parsons coefficient



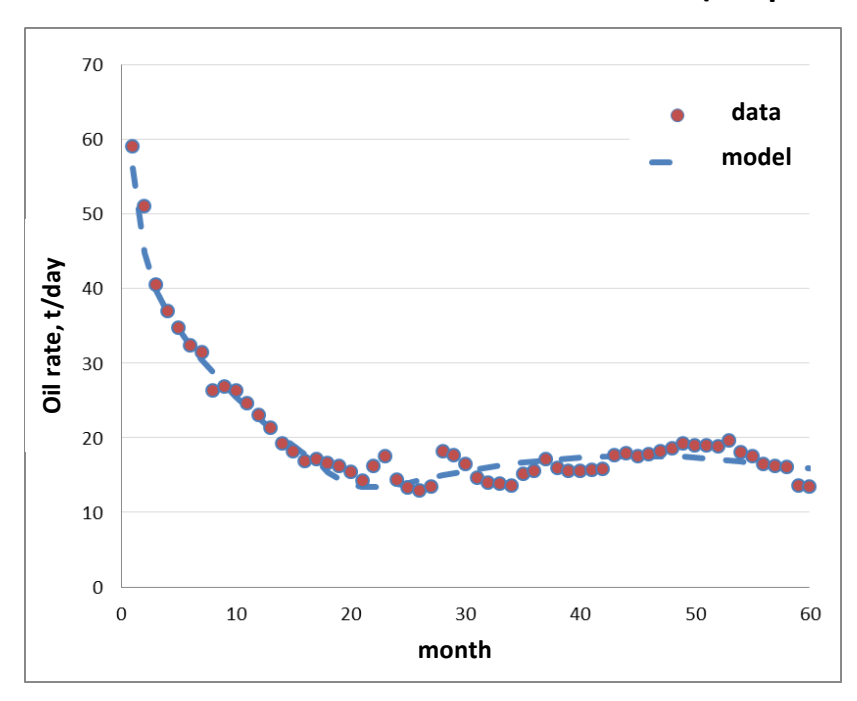


Step 3: calculating the oil rate using liquid rate and displacement curve

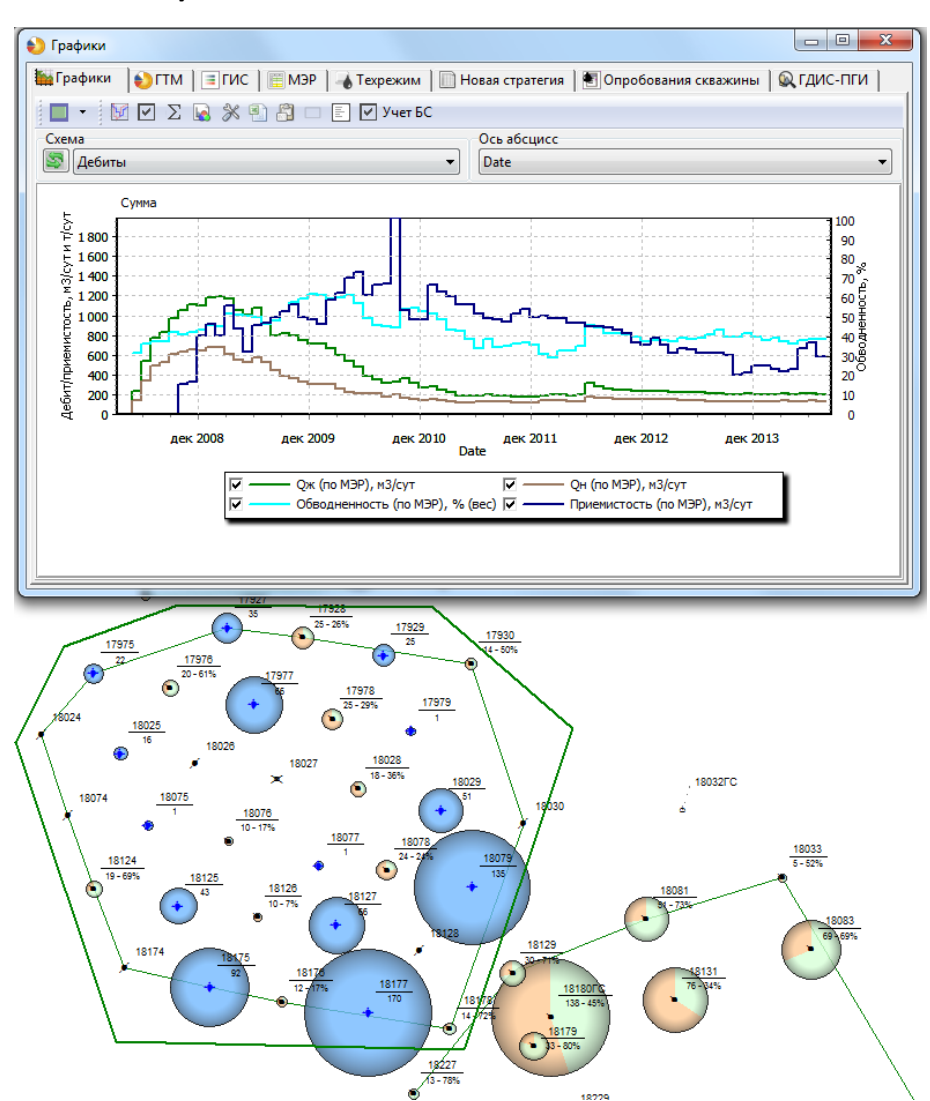


ПРИМЕРЫ PACYETOB (EXAMPLES)

Priobskoe oilfield (Gazpromneft Khantos)

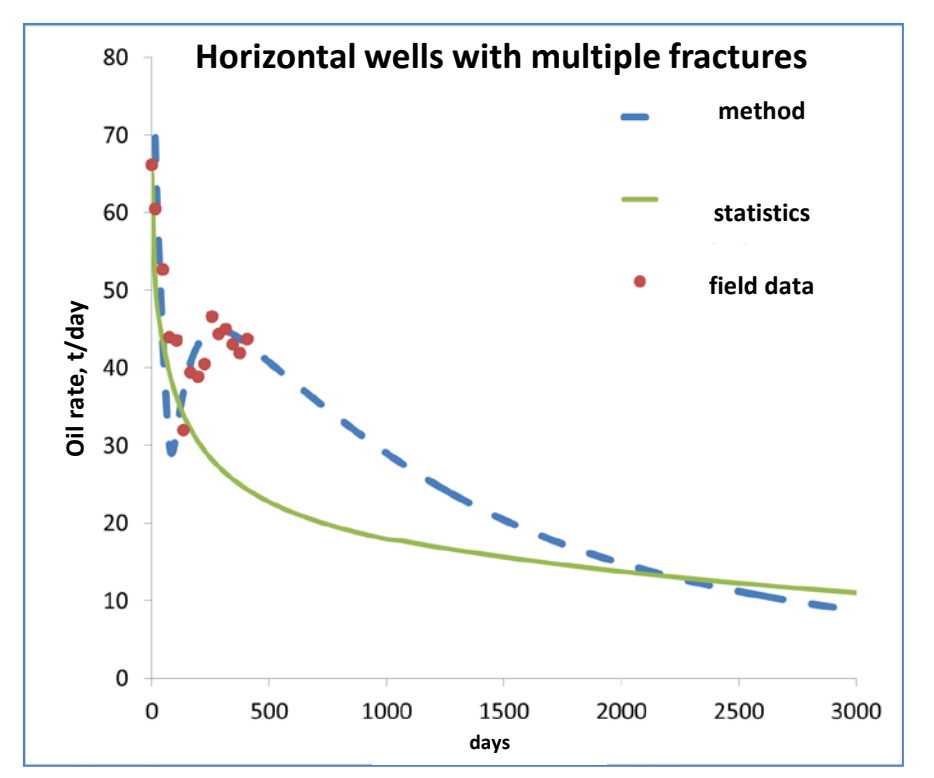


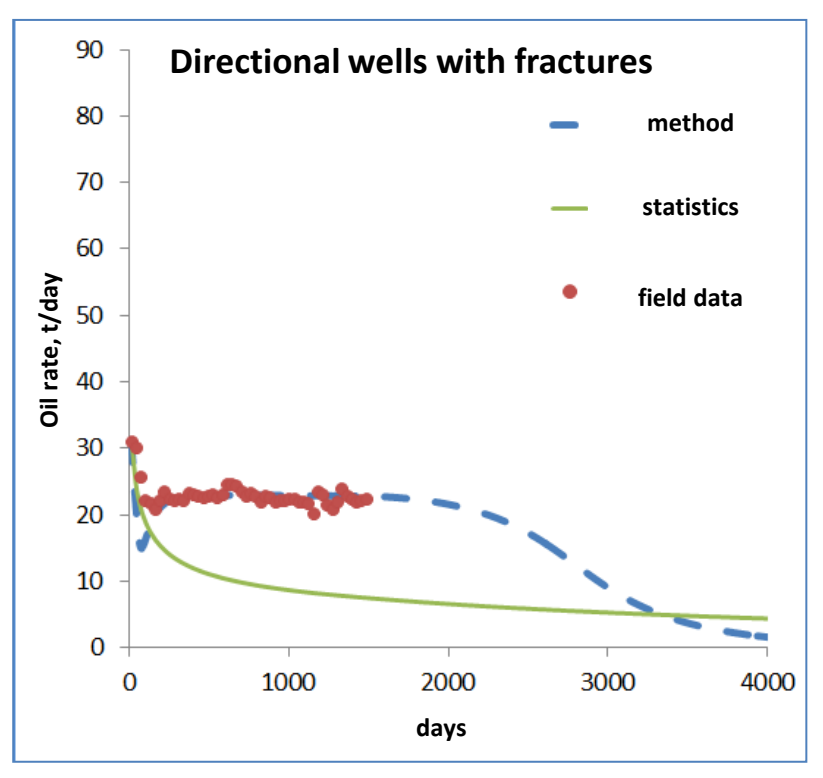
- Long history of development (up to 5 years) of the pad, drilled by the directional wells
- According to the actual history can clearly be seen to stabilize and increase oil production of the average well, which is very well described by the proposed model
- In adapting the model made linking the physical parameters (permeability, effective thickness, porosity, compressibility) is defined as falling on the unsteady flow rate mode and wells reaction on the implementation of water-injection system



ПРИМЕРЫ PACYETOB (EXAMPLES)

Kraynee oilfield (Gazpromneft Muravlenko)





- На Крайнем месторождении (относительно высокая проницаемость) реакция на ППД в виде стабилизации и роста дебита нефти начинается уже с 5-6 месяца работы скважин
- Использование статистического тренда по начальной истории работы скважин приводит к катастрофическому занижению извлекаемых запасов
- Предложенная модель позволяет с высокой степенью достоверности описать фактическое поведение дебита нефти в системе разработки

ЗАКЛЮЧЕНИЕ. CONCLUSION

- ➤ Аналитические и полуаналитические методы не потеряли своей актуальности при решении инженерных задач, даже несмотря на бурный рост производительности вычислительной техники и, в связи с этим, численных методов.
- Аналитические методы также могут быть использованы в качестве предварительных инструментов снижения размерности пространства параметров при выборе оптимальных технологических решений посредством трехмерного гидродинамического моделирования.
- При решении задач интегрированного проектирования (пласт, скважина, поверхностное обустройство) в настоящее время целесообразно использовать полуаналитические модели, которые позволяют существенно снизить время расчетов.

- Analytical and semi-analytical methods have not lost their applicability when solving engineering problems even though calculation tools gained greatly in their capacity and productivity leading to advancement of numerical methods.
- Analytical methods can also be used as preliminary tools to reduce the dimension of parameter space when selecting optimum technological solutions by means of 3D hydrodynamic simulation.

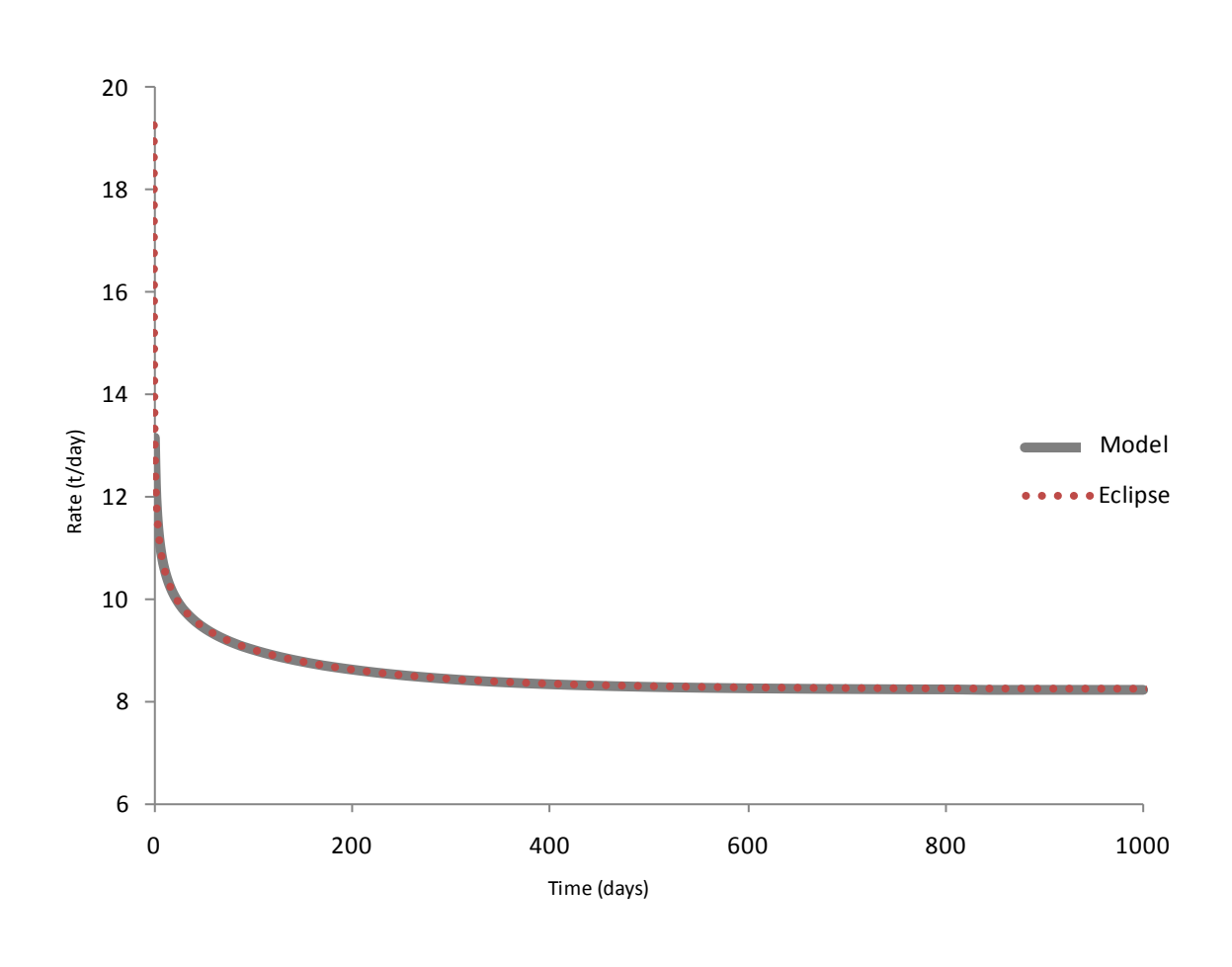
➤ It is currently reasonable to apply semianalytical models when solving the problems of integrated design (reservoir, well, surface structure) as they greatly reduce the calculation time.

Авторы выражают огромную благодарность М.М. Хасанову, Р.К. Мухамедшину, И.Ф. Хатмуллину за их великолепные идеи и ценные обсуждения.

ДОПОЛНИТЕЛЬНЫЕ СЛАЙДЫ

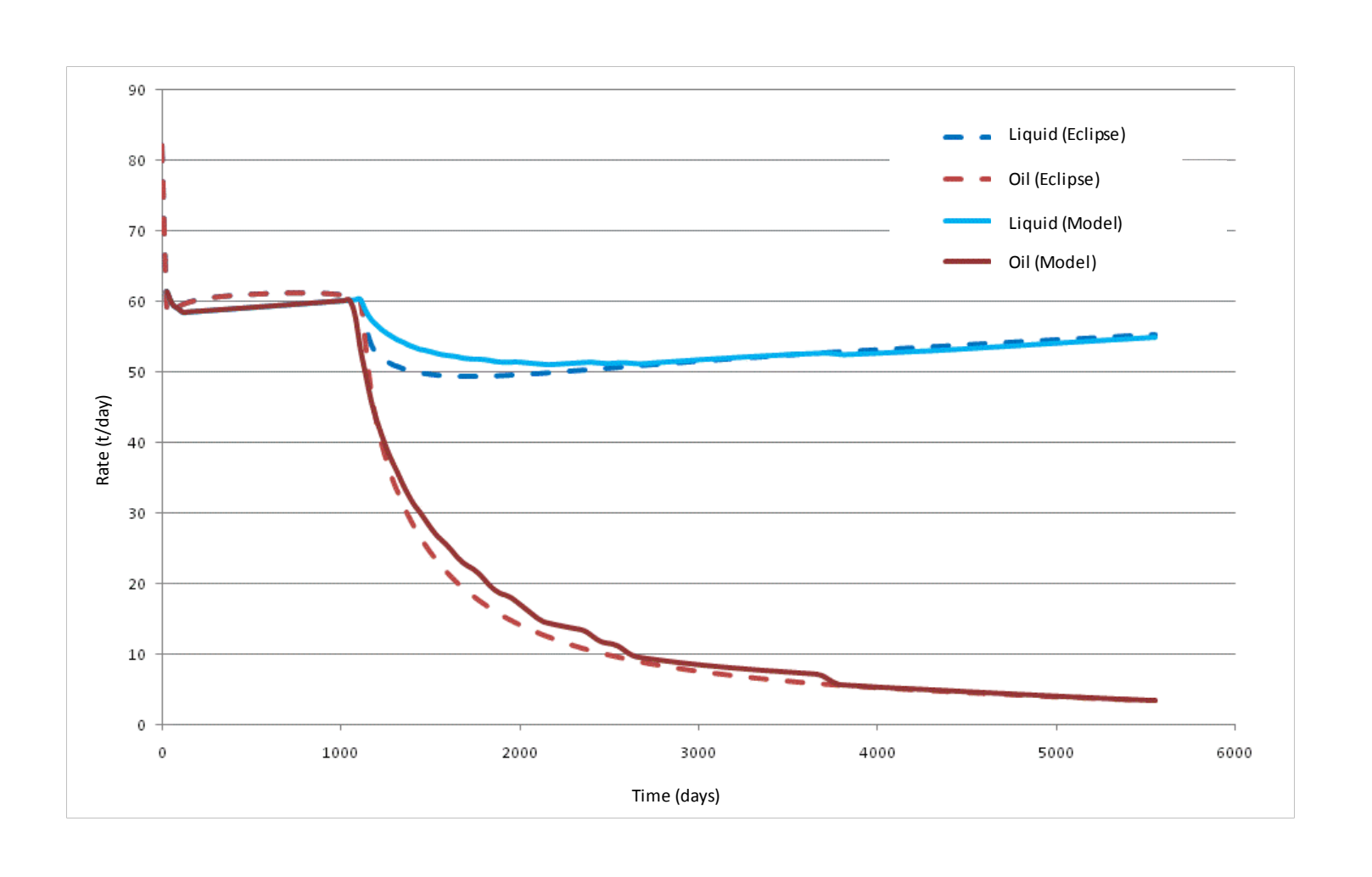
ИНСТРУМЕНТ МОДЕЛИРОВАНИЯ РАЗЛИЧНЫХ СИСТЕМ РАЗРАБОТКИ

СРАВНЕНИЕ С ECLIPSE . «ОДНОФАЗНЫЙ НЕСТАЦИОНАР»



ИНСТРУМЕНТ МОДЕЛИРОВАНИЯ РАЗЛИЧНЫХ СИСТЕМ РАЗРАБОТКИ

СРАВНЕНИЕ С ECLIPSE . «ДВУХФАЗНЫЙ НЕСТАЦИОНАР»



METHOD)

□ Длительность расчета – 15 лет

□ Расстояние между рядами – 420 м

□ Расстояние между скважинами – 480 м

□ Длина ГС с МСГРП – 1000 м

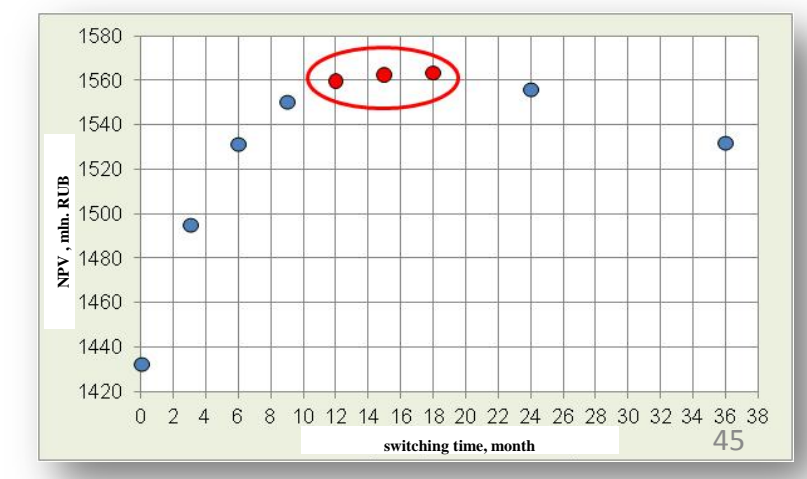
Оптимальное время отработки нагнетательных скважин Optimum injection wells operation period as producers



8 10 12 14 16 18 20 22 24 26 28 30 32 34 36 38

switching time, month

12, 15 и 18 месяцев

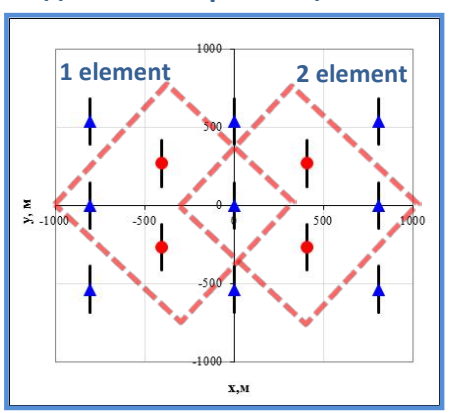


Оптимальное время отработки нагнетательных скважин

- С 2014 года при планировании переводов скважин в систему ППД в НТЦ применяется оценка не только оптимума в отношении энергетики пласта, но и оценка максимального экономического эффекта от переводов.
- В основе такого подхода лежит, разработанный специалистами НТЦ, расчетный модуль, позволяющий на основе математической модели расчета неустановившегося притока и экономических параметрах определять оптимум по времени отработки каждой нагнетательной скважины на любом месторождении.
- Основа для расчета: ФЕС пласта, PVT свойства флюидов, параметры системы разработки и ставка дисконтирования.

Критерием оптимального времени отработки является максимум дисконтированного дебита:

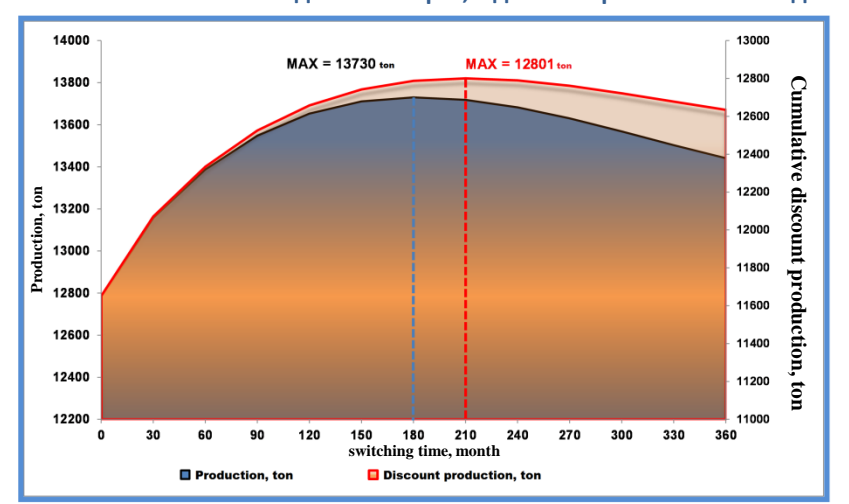
Рядная схема размещения



Расчет ведется по **одному элементу системы, две добывающие скважины и две нагнетательные. Срок расчета** – 600 суток, **Шаг выбора времени отработки** – 30 суток.

Результат расчета – графики изменения накопленной добычи нефти в зависимости от срока отработки нагнетательных скважин

График изменения накопленной добычи нефти, с дисконтированием и без дисконтирования



Оптимальные сроки отработки нагнетательных скважин на нефть:

По максимальной накопленной добычи без учета ставки дисконта — **6 месяцев (180 суток)** По максимальной накопленной добычи с учетом ставки дисконта — **7 месяцев (210 суток)**

ИНСТРУМЕНТ МОДЕЛИРОВАНИЯ РАЗЛИЧНЫХ СИСТЕМ РАЗРАБОТКИ

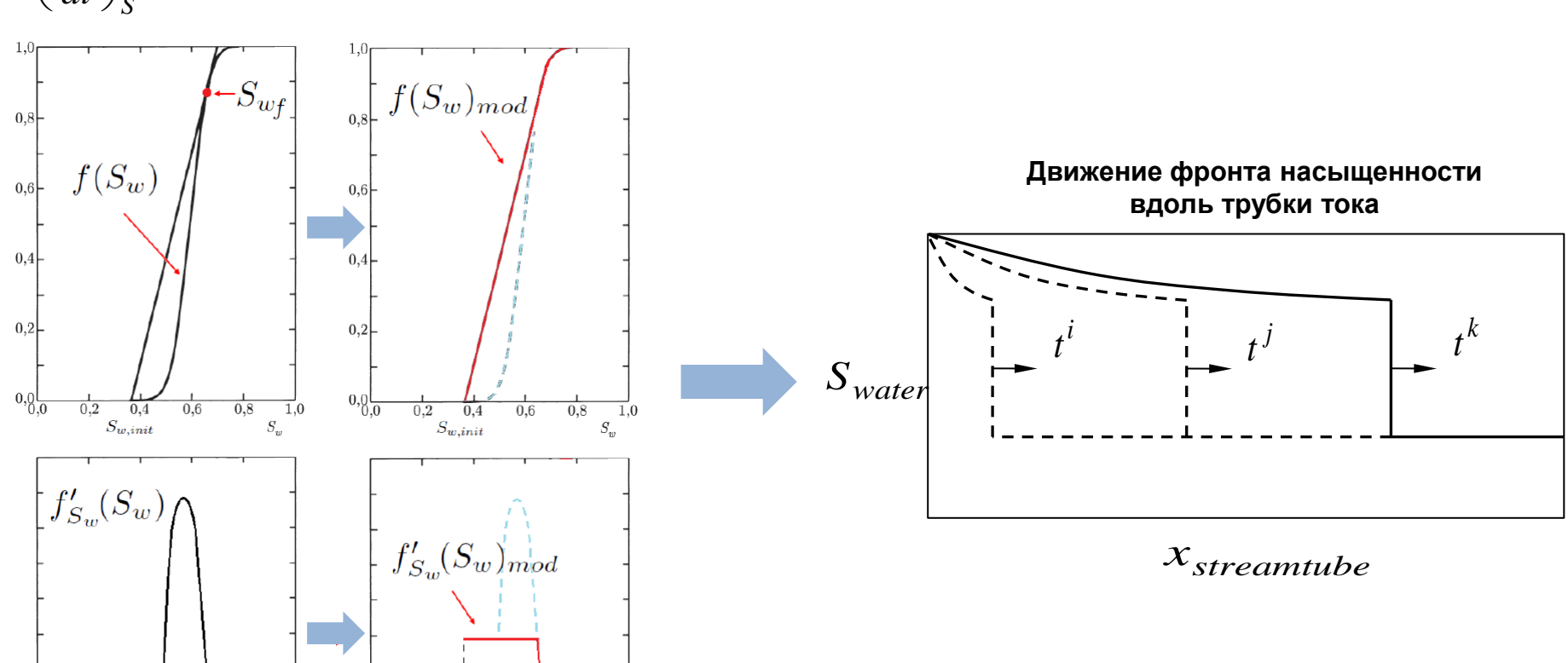
Фильтрация вдоль трубок тока

$$\left(\frac{dx}{dt}\right)_{S^*} \sim f_{S_{water}} \left(S^*\right)$$

1,0

 $S_{w,init}$

Не допустимо движение разных значений насыщенности с одной скоростью. Необходимо модифицировать функцию Баклея-Леверетта.



ИНСТРУМЕНТ МОДЕЛИРОВАНИЯ РАЗЛИЧНЫХ СИСТЕМ РАЗРАБОТКИ

Зависимости коэффициента охвата от длины трубок тока

проблемма:

При расчете на однородном по литологии пласте КИН будет примерно равен коэффициенту вытеснения. А этого никогда не наблюдается на практике даже в пределах разбуренных участков. ЗАДАЧА:

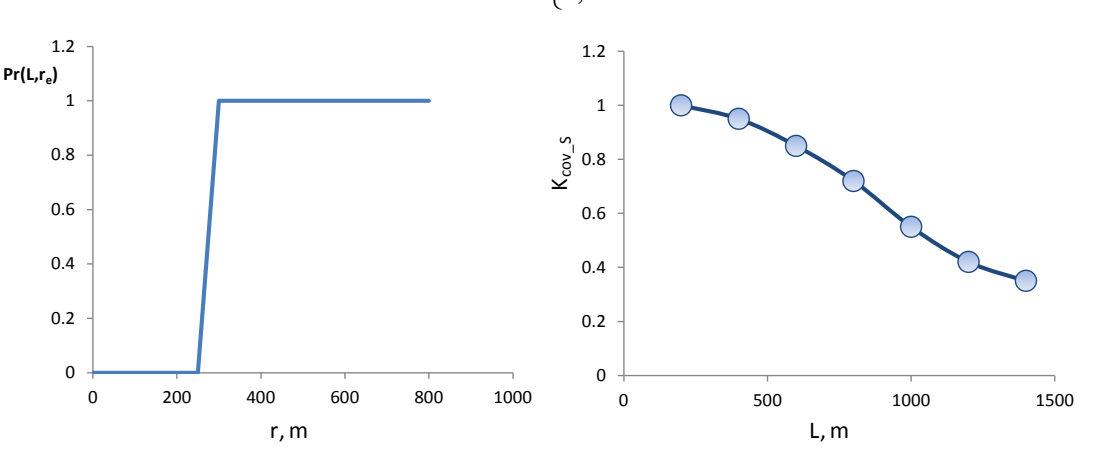
Учесть коэффициент охвата сеткой скважин

Схема расчета зависимости коэффициента охвата от



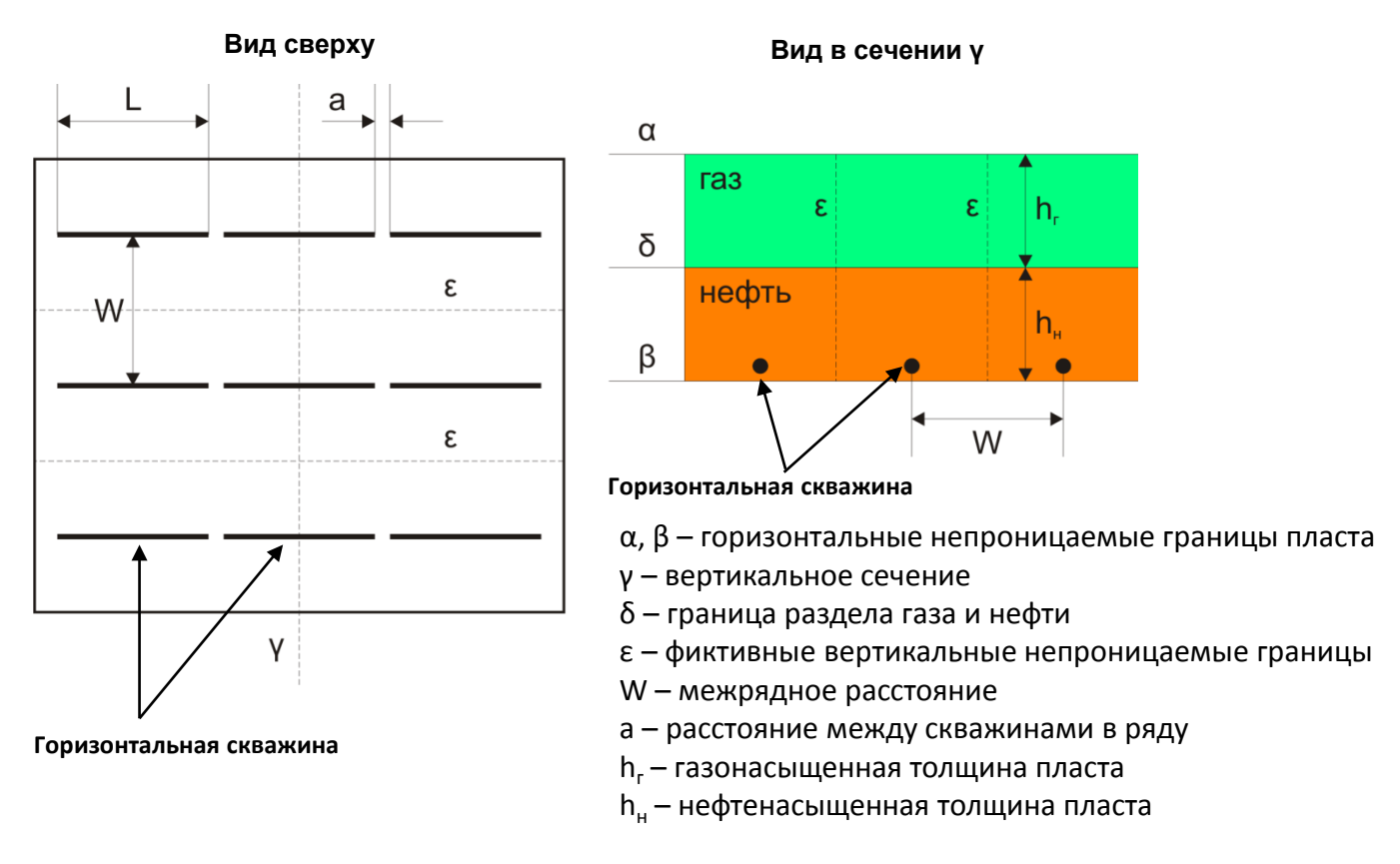


длины трубок тока



Зависимость коэффициента охвата от длины трубок тока используется при расчёте двухфазной фильтрации. Коэффициент охвата является множителем на толщину каждой трубки тока в зависимости от длинны.

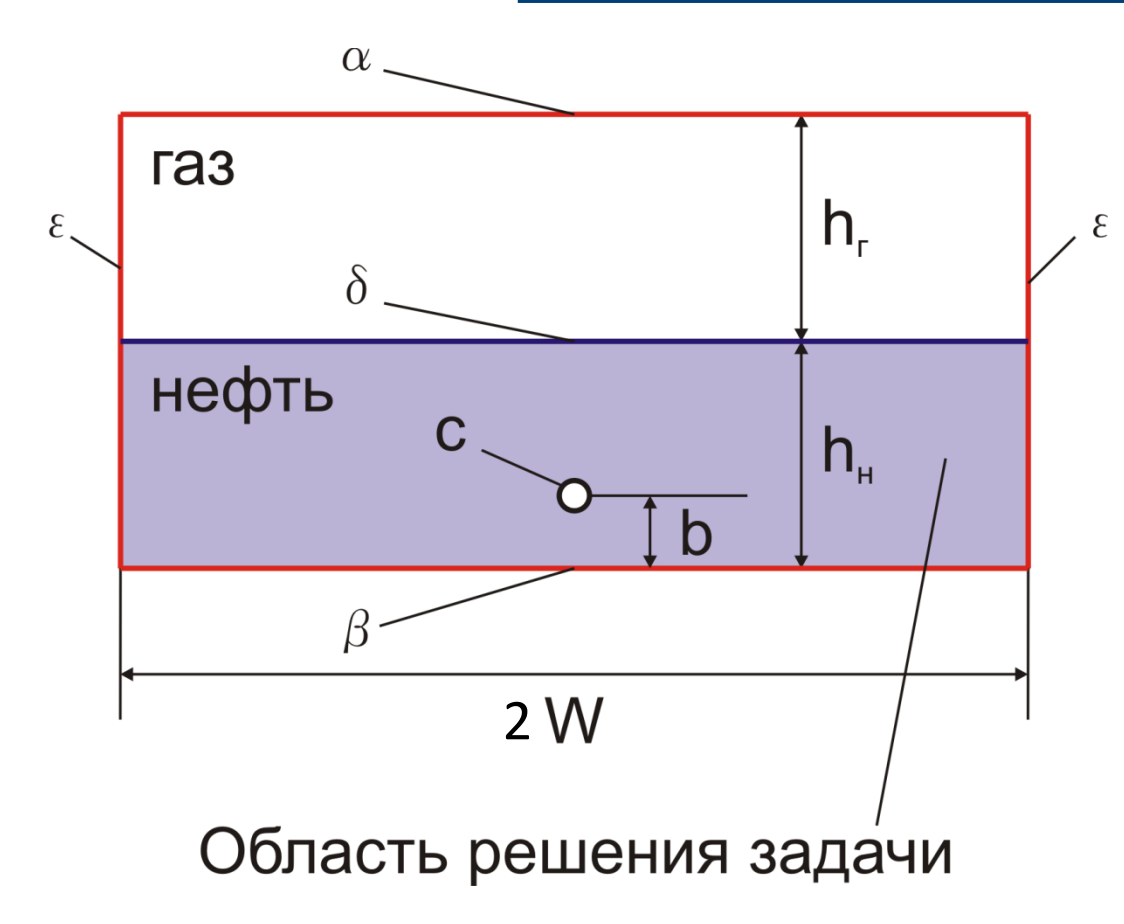
Оценка дебита ГС в подгазовой зоне



- Рассматривается случай а << L, поэтому решается двумерная (сечение γ) задача
- Горизонтальная скважина: цилиндрическая поверхность с постоянным давлением

Задача: определить значение расхода нефти (продуктивность) через горизонтальную скважину при заданных параметрах нефтяного пласта, давлении на скважине, давлении на границе раздела газа и нефти в начальный момент времени (при недеформированной граница раздела)

Оценка дебита ГС в подгазовой зоне



Уравнение Лапласа:

$$k_{x}\frac{\partial^{2} \varphi}{\partial x^{2}} + k_{z}\frac{\partial^{2} \varphi}{\partial z^{2}} = 0$$

Граница α, β:

$$\frac{\partial \varphi}{\partial z} = 0$$

Граница δ:

$$\phi = const$$

Граница ε:

$$\frac{\partial \varphi}{\partial x} = 0$$

Скважина (граница с):

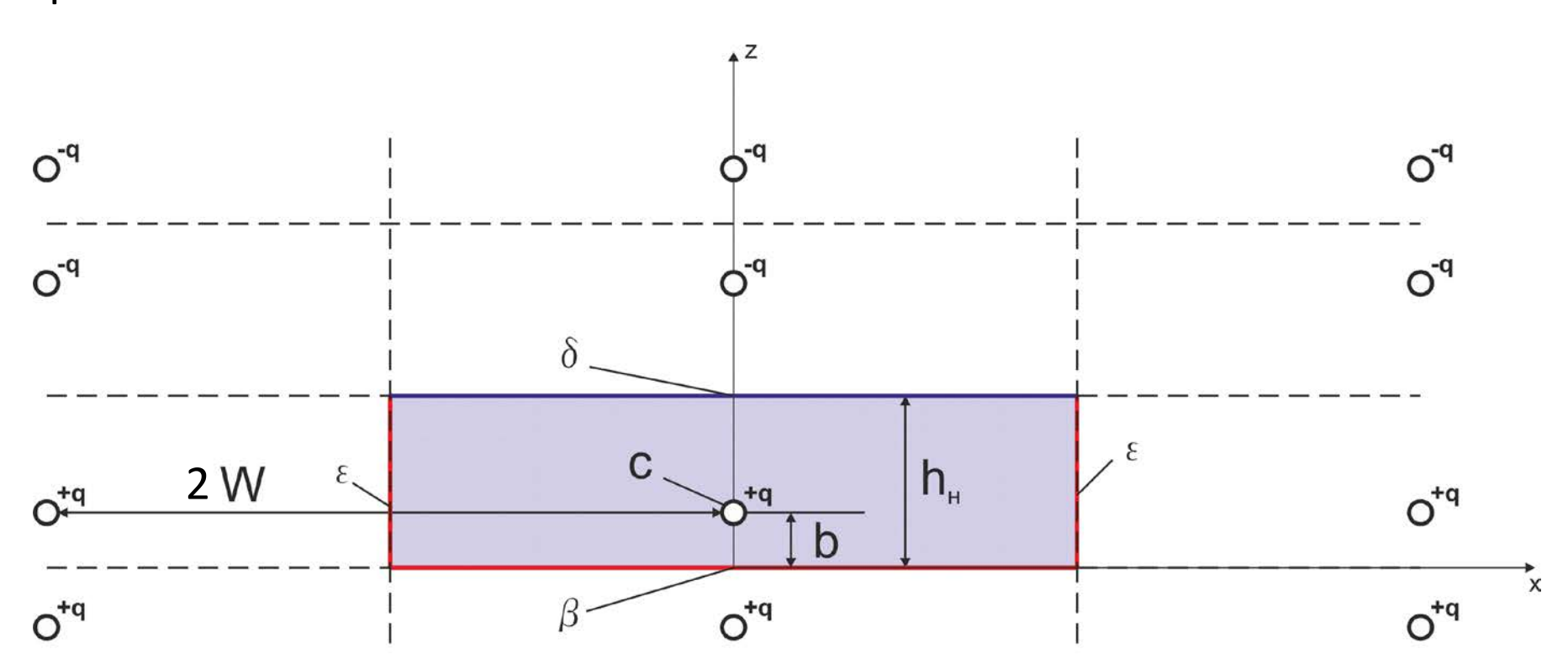
$$\varphi = const$$

Допущения:

- Фильтрационное сопротивление при движении газа пренебрежимо мало
- Рассматривается установившееся движение нефти к скважине, т.е. после достижения упругим возмущением давления границ фильтрации смещение границы раздела нефть-газ от начального положения пренебрежимо мало

Оценка дебита ГС в подгазовой зоне

Для нахождения распределения фильтрационного потенциала, удовлетворяющего граничным условиям, используется метод фиктивных источников и стоков



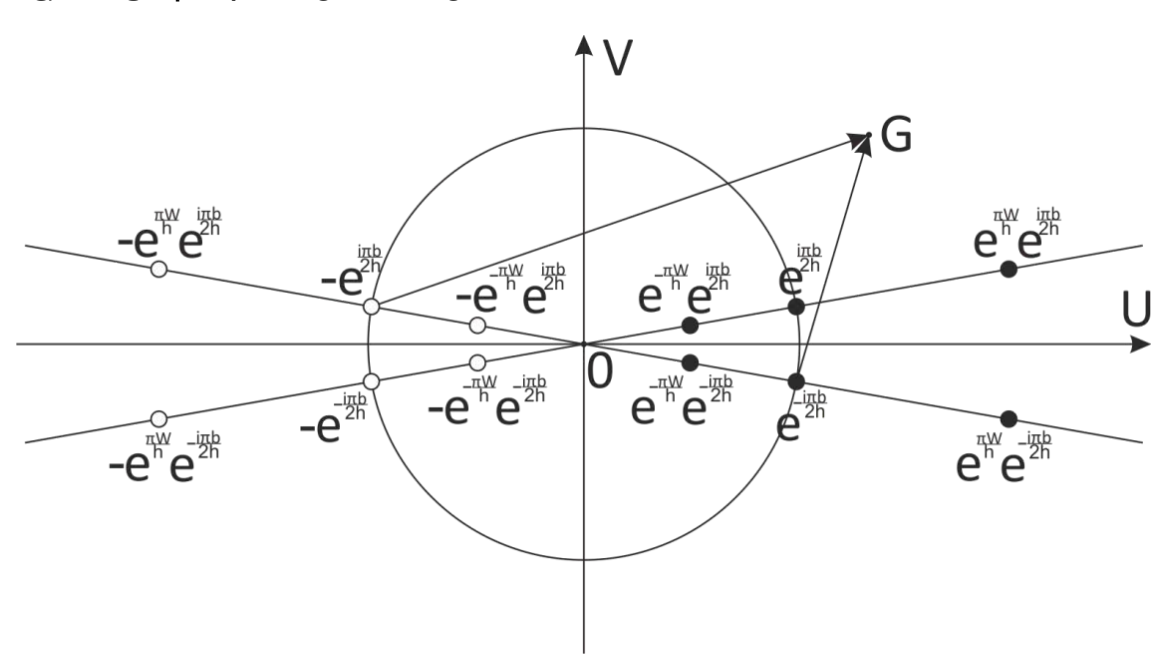
Оценка дебита ГС в подгазовой зоне

Конформное преобразование:

$$G = U + iV = e^{\frac{\pi \hat{z}}{2h}} = e^{\frac{\pi(x+iy)}{2h}}$$

$$\hat{z} = x + iz$$

$$\hat{z} = x + iz$$
 $F = \Phi + i\Psi$



q – продуктивность скважины, m^3/c

L – длина горизонтальной скважины

k – коэффициент проницаемости пласта

Комплексный потенциал в плоскости преобразования:

$$F = \frac{q\mu}{2\pi kL} \left[\sum_{-\infty < j < \infty} \ln \left(G - e^{j\frac{\pi W}{h}} e^{i\frac{\pi b}{2h}} \right) - \sum_{-\infty < j < \infty} \ln \left(G + e^{j\frac{\pi W}{h}} e^{i\frac{\pi b}{2h}} \right) + \sum_{-\infty < j < \infty} \ln \left(G - e^{j\frac{\pi W}{h}} e^{-i\frac{\pi b}{2h}} \right) - \sum_{-\infty < j < \infty} \ln \left(G + e^{j\frac{\pi W}{h}} e^{-i\frac{\pi b}{2h}} \right) \right] + C$$

Оценка дебита ГС в подгазовой зоне

Комплексный потенциал в плоскости преобразования:

$$F = \frac{q\mu}{2\pi kL} \Biggl[\sum_{-\infty < j < \infty} \ln \left(G - e^{j\frac{\pi W}{h}} e^{i\frac{\pi b}{2h}} \right) - \sum_{-\infty < j < \infty} \ln \left(G + e^{j\frac{\pi W}{h}} e^{i\frac{\pi b}{2h}} \right) + \sum_{-\infty < j < \infty} \ln \left(G - e^{j\frac{\pi W}{h}} e^{-i\frac{\pi b}{2h}} \right) - \sum_{-\infty < j < \infty} \ln \left(G + e^{j\frac{\pi W}{h}} e^{-i\frac{\pi b}{2h}} \right) \Biggr] + C$$

$$F = \frac{q\mu}{2\pi kL} \sum_{j} \left[\ln \left(\frac{sh\frac{\pi}{2h}(x-2jW) - i\sin\frac{\pi}{2h}(z+b)}{ch\frac{\pi}{2h}(x-2jW) + \cos\frac{\pi}{2h}(z+b)} \right) + \ln \left(\frac{sh\frac{\pi}{2h}(x-2jW) - i\sin\frac{\pi}{2h}(z-b)}{ch\frac{\pi}{2h}(x-2jW) + \cos\frac{\pi}{2h}(z-b)} \right) \right] + C$$

Замены переменных:

$$\alpha_{j} = \frac{\pi}{2h}(x - 2jW)$$
 $\beta = \frac{\pi z}{2h}$
 $\gamma = \frac{\pi b}{2h}$

Для случая вертикально анизотропного по коэффициенту проницаемости пласта:

$$k o \sqrt{k_x k_z}$$
 $z o z \sqrt{\frac{k_x}{k_z}}$ $h o h \sqrt{\frac{k_x}{k_z}}$

Действительная часть потенциала:

$$\Phi = \frac{q\mu}{4\pi kL} \sum_{j} \left[ln \left(\frac{sh^2 \, \alpha_j + sin^2(\beta + \gamma)}{\left(ch \, \alpha_j + cos(\beta + \gamma)\right)^2} \right) + ln \left(\frac{sh^2 \, \alpha_j + sin^2(\beta - \gamma)}{\left(ch \, \alpha_j + cos(\beta - \gamma)\right)^2} \right) \right] + C$$

$$\Phi = \frac{q\mu}{4\pi kL} \sum_{i} \left[ln \left(\frac{ch \, \alpha_{j} - cos(\beta + \gamma)}{ch \, \alpha_{j} + cos(\beta + \gamma)} \right) + ln \left(\frac{ch \, \alpha_{j} - cos(\beta - \gamma)}{ch \, \alpha_{j} + cos(\beta - \gamma)} \right) \right] + C$$

Оценка дебита ГС в подгазовой зоне

Потенциал на стенке скважины:

$$x^2 + (y - b)^2 = r_w^2$$

$$x^{2} + (y - b)^{2} = r_{w}^{2}$$
 $\alpha_{0}^{2} + \beta_{1}^{2} = \left(\frac{\pi}{2h}\right)^{2} r_{w}^{2}$ $\beta_{1} = \beta - \gamma$

$$\beta_1 = \beta - \gamma$$

r_w << h, x << h:

$$\cosh\alpha_0 = 1 + \frac{\alpha_0^2}{2} \qquad \cos\beta = 1 - \frac{\beta^2}{2}$$

$$\begin{split} \Phi_w &= \frac{q\mu}{4\pi k_z L} \sqrt{\frac{k_z}{k_x}} \left\{ ln \left[\frac{\left(\frac{\alpha_0^2}{2} + \frac{\beta^2}{2}\right)^2 + \left[2\left(1 + \frac{\alpha_0^2}{2}\right)\left(1 - \frac{\beta^2}{2}\right) - 1 - \cos\gamma\right] \cdot (1 - \cos\gamma)}{\left(2 + \frac{\alpha_0^2}{2} - \frac{\beta^2}{2}\right)^2 - \left[2\left(1 + \frac{\alpha_0^2}{2}\right)\left(1 - \frac{\beta^2}{2}\right) + 1 + \cos\gamma\right] \cdot (1 - \cos\gamma)} \right] \\ &+ 2 \sum_{j=1}^{\infty} ln \left[\frac{\left(\cosh\frac{\pi Wj}{h} - \cos\beta\right)^2 + \left[2\cosh\frac{\pi Wj}{h}\cos\beta - 1 - \cos\gamma\right] \cdot (1 - \cos\gamma)}{\left(\cosh\frac{\pi Wj}{h} + \cos\beta\right)^2 - \left[2\cosh\frac{\pi Wj}{h}\cos\beta + 1 + \cos\gamma\right] \cdot (1 - \cos\gamma)} \right] \end{split}$$

После преобразований (скважина вблизи подошвы пласта у << 1):

$$\Phi_w = \frac{q\mu}{\pi\sqrt{k_xk_z}L}\Biggl(ln\left(\frac{\pi r_w}{4h}\right) + ln\left(1 + \frac{4z_1b}{r_w^2} + \frac{4b^2}{r_w^2}\right) + \sum_{j=1}^{\infty}ln\left(tanh\left(\frac{\pi Wj}{2h}\right)\right)\Biggr)$$

Оценка дебита ГС в подгазовой зоне

Потенциал на границе раздела непосредственно надо скважиной ($z = h_H$):

$$\Phi_{\kappa} = \frac{q\mu}{4\pi\sqrt{k_{x}k_{z}}L} \sum_{j=-\infty}^{\infty} \ln \left[\frac{\left(\cosh\frac{\pi Wj}{h}\right)^{2} - \sin^{2}\gamma}{\left(\cosh\frac{\pi Wj}{h}\right)^{2} + \sin^{2}\gamma} \right] \approx 0$$

Разность потенциалов между скважиной и границей раздела (депрессия):

$$\Delta \Phi = \Delta p = \frac{q\mu}{\pi \sqrt{k_x k_z} L} \left\{ \ln \left(\frac{\pi r_w}{4h} \right) + \ln \left(1 + \frac{4z_1 b}{r_w^2} + \frac{4b^2}{r_w^2} \right) + \sum_{j=1}^{\infty} \ln \left(\tanh \left(\frac{\pi W j}{2h} \right) \right) \right\}$$
(III...)

$$\ln\left(\frac{\pi r_{\mathrm{w}}}{4\mathrm{h}}\right) + \ln\left(1 + \frac{4z_{1}b}{r_{\mathrm{w}}^{2}} + \frac{4b^{2}}{r_{\mathrm{w}}^{2}}\right) \approx \ln\left(\frac{\pi r_{\mathrm{w}}}{4\mathrm{h}}\right) + \ln\left(1 + \frac{4b^{2}}{r_{\mathrm{w}}^{2}}\right)$$

Продуктивность скважины:

$$q = \frac{\pi \sqrt{k_r k_z} L \Delta \Phi}{\mu \left[ln \left(\frac{\pi r_w}{4h} \right) + ln \left(1 + \frac{4(h-b)b}{r_w^2} + \frac{4b^2}{r_w^2} \right) + \sum_{j=1}^{\infty} ln \left(tanh \left(\frac{\pi jW}{2h} \right) \right) \right]}$$